



UNIVERSIDADE  
ESTADUAL DO  
**MARANHÃO**  
CENTRO DE ESTUDOS  
SUPERIORES DE CAXIAS



PROGRAMA DE PÓS-GRADUAÇÃO  
EM BIODIVERSIDADE,  
AMBIENTE E SAÚDE

**UNIVERSIDADE ESTADUAL DO MARANHÃO - UEMA**  
**CENTRO DE ESTUDOS SUPERIORES DE CAXIAS - CESC**  
**PROGRAMA DE PÓS-GRADUAÇÃO EM BIODIVERSIDADE, AMBIENTE E**  
**SAÚDE - PPGBAS**

**JOSÉ FLÁVIO FERREIRA DE SOUSA**

**UTILIZAÇÃO DA FARINHA DAS FOLHAS DE ORA-PRO-NÓBIS NA  
ALIMENTAÇÃO DE CODORNAS JAPONESAS POSTURA**

**CAXIAS-MA**

**2024**

**JOSÉ FLÁVIO FERREIRA DE SOUSA**

**UTILIZAÇÃO DA FARINHA DAS FOLHAS DE ORA-PRO-NÓBIS NA  
ALIMENTAÇÃO DE CODORNAS JAPONESAS EM POSTURA**

Dissertação apresentada, ao Programa de Pós-Graduação em Biodiversidade, Ambiente e Saúde – PPGBAS/CESC/UEMA, como parte dos requisitos para obtenção do título de Mestre em Biodiversidade, Ambiente e Saúde.

**Orientador:** Prof.<sup>º</sup> Dr. Gonçalo Mendes da Conceição

**CAXIAS-MA**

**2024**

S725u Sousa, José Flávio Ferreira de

Utilização da farinha das folhas de ora-pro-nóbis na alimentação de codornas japonesas postura / José Flávio Ferreira de Sousa. Caxias: Campus Caxias, 2024.

80f.

Dissertação (Mestrado) – Universidade Estadual do Maranhão – Campus Caxias, Curso de Pós-Graduação em Biodiversidade, Ambiente e Saúde.

Orientador: Prof. Dr. Gonçalo Mendes da Conceição.

1. Alimento alternativo; 2. Dietas-Avaliação; 3. Coturnicultura. 4. Ovos – Qualidade. I. Título.

CDU 636.6

JOSÉ FLÁVIO FERREIRA DE SOUSA

UTILIZAÇÃO DA FARINHA DAS FOLHAS DE ORA-PRO-NÓBIS NA  
ALIMENTAÇÃO DE CODORNAS JAPONESAS EM POSTURA

Dissertação apresentada ao Programa de Pós-Graduação em Biodiversidade, Ambiente e Saúde – PPGBAS/CESC/UEMA, como parte dos requisitos para obtenção do título de Mestre em Biodiversidade, Ambiente e Saúde.

Orientador: Prof.<sup>o</sup> Dr. Gonçalo Mendes da Conceição

Aprovada em: 21 de fevereiro de 2024

BANCA EXAMINADORA

Gonçalo mendes da conceição

Orientador: Prof.<sup>o</sup> Dr. Gonçalo Mendes da Conceição  
Universidade Estadual do Maranhão Campus Caxias



Documento assinado digitalmente  
REGIGLÁUCIA RODRIGUES DE OLIVEIRA  
Data: 07/03/2024 20:18:05-0300  
Verifique em <https://validar.jti.gov.br>

Examinador (a) 1: Prof.<sup>a</sup> Dr<sup>a</sup>. Regigláucia Rodrigues de Oliveira  
Universidade Estadual do Maranhão Campus Zé Doca



Documento assinado digitalmente  
DEUZUITA DOS SANTOS FREITAS VIANA  
Data: 08/03/2024 17:58:55-0300  
Verifique em <https://validar.jti.gov.br>

Examinador (a) 2: Prof.<sup>a</sup> Dr<sup>a</sup>. Deuzuita dos Santos Freitas Viana  
Universidade Estadual do Maranhão Campus Caxias

CAXIAS-MA

2024

*Agradeço e dedico este trabalho aos meus pais Antônia Ferreira de Sousa e Marcelino Paz de Sousa. Esta dissertação é a prova de que todo seu investimento e dedicação para a minha formação valeram a pena.*

*O importante não é vencer todos os dias, mas lutar sempre.*

Waldemar Valle Martins

## **AGRADECIMENTOS**

Agradeço primeiro a Deus, pela minha vida, e por me ajudar a ultrapassar os obstáculos encontrados ao longo dessa trajetória.

Sou grato a meus pais Marcelino Paz de Sousa, Antônia Ferreira de Sousa e a minha família pelo apoio que sempre me deram durante toda a minha vida.

Agradeço à minha Esposa Ana Raquel Pereira de Melo, pela ajuda e compreensão e por sempre estar ao meu lado durante o meu percurso acadêmico.

Deixo um agradecimento especial ao meu orientador Prof.<sup>o</sup> Dr. Gonçalo Mendes da Conceição, pelos ensinamentos, incentivo e pela dedicação do seu escasso tempo ao meu projeto de pesquisa.

Também quero agradecer à Universidade Estadual do Maranhão e a todos os professores e professoras do Programa de Pós-graduação em Biodiversidade Ambiente e Saúde, do Centro de Estudos Superiores de Caxias, pela elevada qualidade do ensino oferecido.

Ao Instituto Federal do Maranhão Campus Caxias e seus colaboradores, pela parceria na realização de toda a fase experimental do projeto.

Aos meus colegas do curso pelas trocas de ideias e ajuda mútua. Juntos conseguimos avançar e ultrapassar todos os obstáculos.

## RESUMO

A coturnicultura de postura é uma atividade em crescimento no Brasil, sendo uma opção atrativa para pequenos, médios e grandes criadores, que querem aumentar sua renda. Contudo, o principal desafio é a redução dos custos com alimentação, o que torna imprescindível a busca por fontes alimentares alternativas. Assim, objetivou-se com esta pesquisa avaliar o efeito da utilização de níveis crescentes de farinha das folhas de ora-pro-nóbis, em rações de codornas japonesas em fase de postura, sobre desempenho, qualidade dos ovos e viabilidade econômicas das dietas. O ensaio foi realizado no Instituto Federal do Maranhão, em Caxias-MA, em duas etapas. Na etapa 01, foi realizado o cultivo e quantificação bromatológica da ora-pro-nóbis. Na etapa 2, foram utilizadas 160 codornas com 45 dias de idade, alojadas em 20 gaiolas com 8 aves cada, em delineamento inteiramente casualizado, com 4 tratamentos e 05 repetições. Os tratamentos foram: 0, 10, 20 e 30% de farinha de folhas de ora-pro-nóbis na dieta. Diariamente, e por 30 dias, foi coletado 1 ovo por unidade amostral, para avaliação dos parâmetros de desempenho e de qualidade dos ovos. Os valores bromatológicos encontrados, indicaram que a ora-pro-nóbis pode ser um ingrediente alternativo para uso nas rações destinadas a coturnicultura. O uso da ora-pro-nóbis na dieta mostrou efeito quadrático ( $p<0,05$ ) sobre a taxa de postura, conversão alimentar por dúzia e massa de ovo, percentagem da casca, do albúmen e da gema, e sobre o índice gema e cor da gema. A pigmentação da gema foi maior nos tratamentos que receberam 20 e 30% de farinha de ora-pro-nóbis, com valores médio de 10,4 e 10,7, respectivamente. O consumo, umidade das excretas, peso e tamanho do ovo, gravidade específica, espessura da casca e unidade Haugh, não foram alterados. É recomendado a utilização de até 20% da farinha de folhas de ora-pro-nóbis na alimentação de codornas japonesas em postura, pois afeta positivamente o desempenho produtivo das aves, que produzem ovos com padrão de qualidade superior em relação às dietas convencionais, além de reduzir os custos com alimentação em R\$ 0,03 ave, e gera uma rentabilidade de 81,10%, superior 1,26% em relação à dieta convencional.

**Palavras-chave:** Alimento alternativo; Avaliação de dietas; Coturnicultura; Qualidade de ovos.

## ÍNDICE DE SIGLAS

ABPA	Associação Brasileira de Proteína Animal
CEEA	Comissão de Ética e Experimentação Animal
CG	Cor da Gema
CV	Coeficiente de Variação
EC	Espessura da Casca
EE	Extrato Etéreo
EEN	Extrativo Não Nitrogenado
FB	Fibra Bruta
FDA	Fibra em Detergente Ácido
FDN	Fibra em Detergente Neutro
GE	Gravidade Específica
IBGE	Instituto Brasileiro de Geografia e Estatística
IFMA	Instituto Federal de Educação, Ciência e Tecnologia do Maranhão
IG	Índice Gema
MM	Material Mineral
MST	Matéria Seca Total
NS	Não Significativo
OPN	Ora-pro-nóbis
PA	Percentagem do Albúmen
PANCs	Plantas Alimentícias Não Convencionais
PB	Proteína Bruta
PC	Percentagem da Casca
PG	Percentagem da Gema
PO	Peso do Ovo
PPM	Parte Por Milhão
TBCA	Tabela Brasileira de Composição de Alimentos
TO	Tamanho do Ovo
UE	Umidade das Excretas
UEMA	Universidade Estadual do Maranhão
UFPI	Universidade Federal do Piauí
UH	Unidade Haugh

## **ÍNDICE DE FIGURAS**

Figura 1. Número efetivo de codornas das regiões brasileiras nos últimos 10 anos .....	15
Figura 2. Resultados da análise de solo da área de plantio .....	48
Figura 3. Folhas de OPN em preparação para secagem (A), e farinha produzida após moagem (B) .....	49
Figura 4. Área cultivada com ora-pro-nóbis em Caxias-MA .....	52
Figura 5. Efeito da FOPN na % de casca (A), albúmen (B), gema (C) e índice de gema (D) de ovos de codorna japonesa.....	69
Figura 6. Efeitos da FOPN na pigmentação da gema de ovo de codornas japonesas. ...	71

## **ÍNDICE DE TABELAS**

Tabela 1. Participação dos componentes do ovo de codorna .....	17
Tabela 2. Composição nutricional aproximada do ovo de codorna .....	17
Tabela 3. Teor bromatológico de FOPN cultivada nas condições edafoclimáticas de Caxias-MA .....	52
Tabela 4. Composição centesimal das rações experimentais. ....	64
Tabela 5. Preços dos ingredientes (R\$ Kg-1), ovos e custos de ração experimental. ....	67
Tabela 6. Desempenho e postura de codornas japonesas alimentadas com FOPN.....	68
Tabela 7. Efeitos da FOPN na qualidade dos ovos de codornas japonesas.....	70
Tabela 8. Análise das variáveis econômicas da produção de ovos de codornas japonesas alimentadas com FOPN.....	71

## SUMÁRIO

<b>1. INTRODUÇÃO GERAL .....</b>	<b>13</b>
<b>2. REFERENCIAL TEÓRICO .....</b>	<b>14</b>
2.1. A coturnicultura de postura no Brasil .....	14
2.2. Características e composição do ovo de codorna .....	16
2.3. Parâmetros de qualidade de ovos de codornas.....	17
2.4. Exigência nutricional de codornas japonesas .....	18
2.5. Impacto dos alimentos alternativos nos custos com alimentação de codornas japonesas .....	21
2.6. Aspectos gerais e produtivos da ora-pro-nóbis ( <i>Pereskia aculeata</i> Mill).....	23
2.7. Composição nutricional da ora-pro-nóbis.....	25
2.8. Fatores antinutricionais e uso da ora-pro-nóbis na alimentação animal .....	27
<b>REFERÊNCIAS .....</b>	<b>30</b>
<b>3. CAPÍTULO I – POTENCIAL DA FARINHA DAS FOLHAS DE ORA-PRO-NÓBIS PARA USO NA DIETA DE CODORNAS JAPONESAS EM POSTURA...46</b>	
3.1. Introdução .....	47
3.2. Material e métodos.....	47
3.2.1. Área de cultivo.....	48
3.2.2. Obtenção da farinha de folhas de <i>P. aculeata</i> para análises.....	48
3.2.3. Determinação da composição bromatológica. ....	49
3.3. Resultados .....	52
3.4. Discussão .....	53
3.5. Conclusões .....	56
Referências.....	57
<b>4. CAPÍTULO II – USO DE NÍVEIS CRESCENTES DE FARINHA DAS FOLHAS DE ORA-PRO-NÓBIS NA DIETA DE CODORNAS JAPONESAS EM POSTURA .....</b>	<b>62</b>
4.2. Material e métodos.....	63

4.3. Resultados .....	68
4.5. Conclusões .....	74
Referências.....	75

## 1 1. INTRODUÇÃO GERAL

2 A criação de codornas de postura é uma atividade em ascensão no Brasil nos  
3 últimos anos, em razão da facilidade de criação, manejo, boa relação custo benefício,  
4 precocidade produtiva, alta taxa de postura e baixo consumo de ração (Ferronato et al.,  
5 2020). A exploração comercial dessas aves é uma opção atrativa para pequenos, médios  
6 e grandes criadores, principalmente os agricultores familiares que querem aumentar sua  
7 renda, tendo em vista o alto valor nutricional dos ovos (Bendlin et al., 2019).

8 O ovo dessas aves tem grande aceitação no mercado consumidor, pela fácil  
9 aquisição e alternativa de alimento com potencial nutricional (Alburquerque et al., 2021).  
10 De acordo com a Associação Brasileira de Proteína Animal (ABPA, 2021), a cadeia  
11 produtiva no país se caracteriza pela produção de ovos para consumo, predominantemente  
12 *in natura*, onde boa parte da produção é comercializada no mercado interno (Soares;  
13 Ximenes, 2022).

14 A produção de ovos depende de vários fatores, dentre os quais se destacam  
15 rações, vacinas e medicamentos, genética, instalações e máquinas e equipamentos (De  
16 Oliveira et al., 2019). A nutrição é um fator crucial e determinante para o sucesso na  
17 produção de codornas japonesas, em virtude dos custos elevados com alimentação dessas  
18 aves, o que gera a necessidade de se buscar constantemente alternativas de alimentos com  
19 menores custos, e que mantenha ou aumente a produtividade animal (De Paula Souza et  
20 al., 2020).

21 O gênero *Pereskia* ssp. tem sido bastante estudado, em razão do alto valor  
22 nutricional encontrado nessas plantas, a exemplo da ora-pro-nóbis (*Pereskia aculeata*  
23 Miller), uma Cactaceae, conhecida popularmente como “carne dos pobres”, por  
24 apresentar alto teor proteico, além de vitaminas, minerais, fibras e hemicelulose,  
25 importantes para a nutrição humana e animal (Cruz et al., 2020). De fácil cultivo e boa  
26 adaptação a diferentes condições edafoclimáticas, é uma planta estratégica para uso na  
27 alimentação de populações que vivem em áreas de escassez alimentar, assim como  
28 alimento alternativo para animais (Silva et al., 2017).

29 Portanto, objetivou-se com esta pesquisa quantificar o valor bromatológico da  
30 farinha das folhas de ora-pro-nóbis e avaliar os efeitos de sua utilização em rações de  
31 codornas japonesas em fase de postura, sobre desempenho, qualidade dos ovos e  
32 viabilidade econômicas das dietas.

33 **2. REFERENCIAL TEÓRICO**

34 **2.1. A coturnicultura de postura no Brasil**

35 O Brasil ocupa posição privilegiada no ramo da avicultura, e é destaque no  
36 cenário mundial, o que contribui significativamente com a geração de empregos diretos e  
37 indiretos, fortalecendo a economia agropecuária nacional (de Oliveira et al., 2013). A  
38 coturnicultura é um ramo da avicultura, onde codornas são criadas para produção de ovos  
39 ou para abate. Originárias do norte da África, da Europa e da Ásia, as codornas pertencem  
40 à família Fasianidae, sendo, portanto, da mesma família das galinhas e perdizes (Pinto  
41 et al., 2002).

42 Atualmente, a coturnicultura tem possibilitado o incremento de renda para  
43 pequenos produtores rurais, especialmente as codornas japonesas, aves com postura de  
44 ovos de excelentes padrões comerciais (Benivente et al., 2022). É uma atividade que  
45 possui baixo investimento e manutenção, em relação às outras criações, utilização de  
46 pequena área para instalação, além de apresentar rápido retorno do investimento (Silva et  
47 al., 2018).

48 As codornas de postura para fins comerciais, são consideradas aves domésticas  
49 da espécie *Coturnix coturnix*, resultante de vários cruzamentos, entre codornas europeias  
50 com espécies selvagens, com a finalidade de obter uma espécie capaz de ser domesticada,  
51 tendo como resultado a subespécie *Coturnix coturnix japonica*, ou seja, a codornas  
52 japonesas (Pastore et al., 2012; Prado et al., 2021).

53 Atualmente no Brasil, as codornas americanas ou a Bobwhite quail (*Colinus*  
54 *virginianus*), japonesa (*Coturnix coturnix japonica*) e a europeia (*Coturnix coturnix*  
55 *coturnix*) são as três espécies mais exploradas de forma comercial, onde a americana e  
56 europeia tem sido explorada para produção de carne, e a japonesa para produção de ovos  
57 (Barreto et al., 2007).

58 No Brasil, a atividade como segmento produtivo comercial, teve um importante  
59 marco no início do ano de 1989, com a implantação do primeiro criatório no Sul do país,  
60 o que possibilitou o começo de sua exploração de forma comercial (Silva et al., 2012).  
61 Desde então, a coturnicultura de postura tem crescido no Brasil, sendo vista como uma  
62 atividade economicamente rentável (Viola et al., 2018).

63 Por ser uma ave bem adaptada às diversas condições climáticas, tem se  
64 desenvolvido bem no Brasil, presente em todas as regiões brasileiras, como exploração

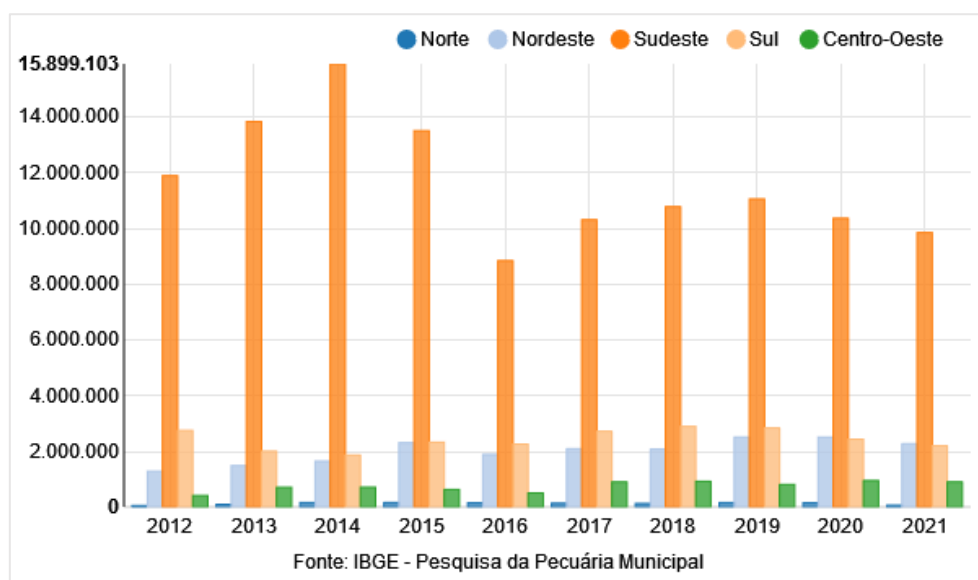
65 avícola de pequeno a grande porte, que geralmente são localizadas nos mesmos polos da  
 66 avicultura, o que garante a diversificação produtiva e retorno econômico aos criadores  
 67 (Silva et al., 2018).

68 As codornas japonesas são consideradas aves que apresentam precocidade e  
 69 índices produtivos semelhantes às galinhas de postura comercial, produzindo ovos a partir  
 70 do 45º dia de vida, e declinando essa produção a partir da 40º semana, com produção  
 71 média estimada em 300 ovos no seu primeiro ano de vida (Viola et al., 2018).

72 Os ovos são comercializados em sua grande maioria, de forma *in natura* (em  
 73 casca) em embalagens de 30 unidades, e em conserva, sendo esse o principal produto  
 74 industrializado, destinado às redes de self-service, o que tem impulsionado  
 75 significativamente o consumo desse alimento (Bertechini et al., 2010). Além de ser  
 76 ingrediente na culinária, o ovo de codorna é um alimento nutritivo e barato, com diversas  
 77 aplicações na indústria alimentícia (Santos, 2018).

78 Em 2021, o Brasil teve uma produção total estimada 273.750 mil dúzias de ovos  
 79 de codorna, o que resultou numa receita bruta de R\$ 438.218,00, onde a região Sudeste  
 80 lidera a produção, e detém o maior efetivo de animais (Figura 1), concentrando os maiores  
 81 alojamentos de codornas de postura, com destaque para os estados de São Paulo, Espírito  
 82 Santo e Minas Gerais, que juntos respondem por mais de 51% de toda a produção nacional  
 83 (IBGE, 2021).

Figura 1. Número efetivo de codornas das regiões brasileiras nos últimos 10 anos.



Fonte: IBGE (2021).

84 Diante das características produtivas promissoras dessa atividade, o mercado de  
85 ovo de codornas está em ascensão no Brasil, o que tem alavancado esforços na realização  
86 de estudos de fortalecimento deste setor produtivo como atividade comercial, que exige  
87 cada vez mais pesquisas, principalmente nas áreas de melhoramento genético, manejo,  
88 nutrição e produção das aves, e na tecnificação da produção de ovos com o intuito de  
89 aumentar a produtividade e lucratividade (dos Santos et al., 2021).

## 90 **2.2. Características e composição do ovo de codorna**

91 O ovo de codorna apresenta características próprias quanto à sua estrutura física,  
92 e corresponde a cerca de 6% do peso corporal da ave, de formato oval-arredondado, em  
93 diversas tonalidades, mede de aproximadamente 3cm de comprimento por 2,5cm de  
94 largura e peso médio que varia de 9 a 13g, dependendo da espécie e idade da codorna  
95 (Albino e Barreto, 2003).

96 O ovo é composto pela casca, gema e clara. Uma grande vantagem nos ovos está  
97 na sua casca, que confere proteção, além de ser uma embalagem natural de um produto  
98 de alto valor biológico. É uma barreira física contra microrganismos, e exerce a função  
99 de proteção contra a contaminação por esses agentes. Na casca, encontra-se a maior  
100 concentração de cálcio, em forma de carbonato de cálcio (98%), e uma porção de  
101 aproximadamente de 2 % glicoproteína (Souza-Soares e Siewerdt, 2005).

102 A clara ou albúmen, é composto por proteína e água, e baixos índices de gordura  
103 (0,1 a 0,2%), ideal para consumo em dietas com baixas calorias. A ovoalbumina é a maior  
104 porção de proteína presente na clara (80%), seguido da ovomucóide (10%), ovomucina  
105 (7%) e da ovoglobina (3%), sendo bastante apreciada e consumida por atletas, pois realiza  
106 a restruturação muscular (Baungartner, 1994).

107 A gema é constituída de frações granulares suspensas em uma fase contínua,  
108 composta por lipoproteínas, que em associação com minerais como cálcio e ferro, formam  
109 complexos que expressam a cor amarela da gema. É formada tipicamente por lipídeos,  
110 fosfolipídeos e esteróis, com percentuais representativos de 60, 35 e 5%, respectivamente  
111 (Villela, 1998; Baungartner, 1994).

112 É importante salientar que a qualidade do ovo atinge o seu máximo no momento  
113 da postura. A composição dos constituintes pode variar em função de diversos fatores, de  
114 ordem ambiental, genética e saúde das aves, e principalmente relacionados ao manejo  
115 alimentar. A tabela 1 apresenta a composição aproximada dos ovos de codorna.

Tabela 1. Participação dos componentes do ovo de codorna.

Componentes do ovo	Valor médio (%)	
	Magalhães (2007)	Albino e Neme (1998)
Casca	8,0 – 11,0	12,66
Gema	27,0 – 32,0	31,58
Albúmen	56,0 – 61,0	55,74

Fonte: Adaptado de Albino e Barreto (2003).

116 Quanto à sua composição, o ovo de codorna contém componentes similares aos  
 117 encontrados no ovo de galinha, sendo ótima fonte de proteína, carboidratos, lipídeos, água  
 118 e minerais, como cálcio, fósforo, potássio, sódio, manganês e enxofre (Vieira, 1988).

119 Possui um teor elevado de colesterol, porém quanto às vitaminas, apresenta  
 120 teores mais elevados de vitamina A, B1 e B3 (Santos, 2009). A tabela 2 mostra os  
 121 principais componentes nutricionais do ovo de codorna.

Tabela 2. Composição nutricional aproximada do ovo de codorna.

Umidade	Energia	Proteínas	Lipídeos	Carboidratos	Cinzas
(g. 100g <sup>-1</sup> )					
74	177	13,7	12,7	0,8	1,2
Minerais (mg. 100g <sup>-1</sup> )					
Ca	P	K	Na	Fe	Mn
79	279	79	129	3,3	279
Vitaminas (mg. 100g <sup>-1</sup> )					
Retinol (A)		Tiamina (B1)	Riboflavina (B2)	Niacina (B3)	
305		0,11	0,12	0,97	

Fonte: TBCA (2023).

### 122 2.3. Parâmetros de qualidade de ovos de codornas

123 O ovo de codorna é considerado um alimento completo e equilibrado em  
 124 nutrientes, sendo uma fonte confiável de proteínas, lipídeos, aminoácidos essenciais,  
 125 vitaminas e minerais (Seibel et al., 2010). O tamanho, peso, composição química e  
 126 aspectos sensoriais, são características importantes que sofre influência direta de fatores  
 127 genéticos, nutrição, manejo, densidade de alojamento e condições ambientais (Guimarães  
 128 et al., 2014).

129 A qualidade dos ovos de codornas é mensurada em função de características  
130 externas e internas (King'ori, 2011). Os principais parâmetros de qualidade externa e  
131 interna estão relacionados à cor, integridade, grau de limpeza e espessura da casca, peso  
132 do ovo, altura do albúmen e da gema e a unidade Haugh (UH) (Santos et al., 2016). E, as  
133 perdas de qualidade estão associadas a diversos fatores, de ordem ambiental, genética,  
134 saúde e nutrição (Jeke et al., 2018; Genchev, 2012; Marinho, 2011).

135 Temperaturas elevadas afetam os processos metabólicos e atividade enzimática,  
136 diminuindo o desempenho produtivo, tamanho dos ovos e resistência da casca, o que afeta  
137 o transporte, armazenamento e comercialização (da Silva Romão et al., 2020). A altura  
138 do albúmen reflete indiretamente a integridade e estrutura proteicas dos ovos, que é a  
139 afetado diretamente pela temperatura de armazenamento, sendo recomendado o uso de  
140 refrigeração, como alternativa de prolongar a qualidade desse produto (Garcia et al.,  
141 2015).

142 Além das variáveis de qualidade externa e interna citadas, os indicadores  
143 microbiológicos também devem ser considerados, isso por que, após a postura o ovo  
144 diminui progressivamente sua proteção, e ficam mais suscetíveis à invasão, crescimento  
145 e deterioração por microrganismos na parte interna (Rumão et al., 2020).

146 Aliado a tudo isso, a alimentação e qualidade da água oferecida são os fatores  
147 que exercem maior influência sobre o desempenho produtivo e qualidade dos ovos, pois,  
148 assim como outras aves comerciais, as codornas japonesas exigem uma dieta balanceada  
149 e água, em qualidade e quantidades suficientes para seu desenvolvimento, manutenção e  
150 resposta produtiva (da Natividade, 2021).

#### 151 **2.4. Exigência nutricional de codornas japonesas**

152 A produção animal tem como principal desafio a otimização dos custos com a  
153 alimentação, uma vez que, se utiliza de ingredientes que sofrem constantes oscilações de  
154 preços, como o milho e a soja, ingredientes base da dieta animal (Ferronato et al., 2020).  
155 Na coturnicultura, o conhecimento do manejo alimentar e nutricional ainda é escasso, e  
156 muitas vezes, tem sido baseado na experiência dos criadores, devido às escassas pesquisas  
157 realizadas sobre exigências nutricionais dessas aves, (Silva et al., 2004).

158 Durante muito tempo, o manejo nutricional de codornas japonesas foi realizado  
159 baseado nas exigências nutricionais de outros países, como o NRC (1994), cujas  
160 condições ambientais são diferentes das existentes no Brasil (Pizzolante et al., 2006). As

161 poucas informações das exigências nutricionais desses animais, tem contribuído para  
162 elevado custos, isso por que em muitos casos, os produtores subestimam ou superestimam  
163 as exigências, causando prejuízos para o setor (Garcia et al., 2012).

164 A energia é o principal componente nutricional das dietas para poedeiras,  
165 indispensável à sobrevivência das aves, atuando na regulação da temperatura corporal e  
166 síntese de tecidos orgânicos, podendo ainda ser armazenada ou direcionada para funções  
167 de produção, como a produção de ovos (Granghelli et al., 2019). Por atuar na regulação  
168 do consumo alimentar, o fornecimento de dietas com nível energético inadequado pode  
169 alterar o consumo e reduzir o desempenho desses animais (Silva e Costa, 2009).

170 As codornas japonesas são aves mais ativas e apresentam consumo de ração  
171 relativamente maior em comparação com as galinhas, porém são menos eficientes em  
172 reter energia e proteína durante seu desenvolvimento, o que indica prováveis diferenças  
173 entre essas espécies e justifica a necessidade de estabelecer os padrões nutricionais  
174 específicos dessas aves (Jordão Filho et al., 2011ab; MaCleod e Dabhuta, 1997).

175 A proteína bruta é fundamental para o desempenho e produção de ovos na  
176 criação de codornas japonesas, e sua exigência varia de acordo com a taxa de crescimento  
177 e produção de ovos (Lima et al., 2014). Quando fornecida em níveis marginais, promove  
178 redução no crescimento e produção de ovos, devido o desvio de parte desta para funções  
179 menos vitais. Já o consumo em excesso pode limitar o desempenho das aves, pois o  
180 catabolismo aminoacídico requer gasto extra de energia para excreção de nitrogênio na  
181 forma de ácido úrico (Silva et al., 2006).

182 Quanto à digestão de fibras, as codornas possuem maior tamanho relativo do  
183 ceco, (Andújar; Navarro; Varela, 1977), o que aumenta a capacidade de digestão de  
184 alimentos fibrosos. Além disso, a superfície da mucosa mais desenvolvida, ajuda na  
185 absorção de fibras por esse órgão (Strong; Reimer; Braun, 1990). De fato, codornas  
186 alimentadas com alto teor de fibra apresentaram maior porcentagem de celulose digerida  
187 (Inman, 1973), resultante do aumento da taxa de proliferação celular e no tamanho do  
188 intestino ocorrido após ingestão de dietas fibrosas (Savory; Gentle, 1976).

189 As dietas para codornas japonesas são formuladas com base nas exigências de  
190 proteína bruta, cuja eficiência de utilização depende da quantidade, composição e  
191 digestibilidade de seus aminoácidos, os quais são exigidos em níveis específicos pelas  
192 aves (Dale, 1994). Oferecer aminoácidos mais próximos das necessidades animais,

193 resulta no aumento da eficiência de utilização proteica e maximização do uso dos  
194 aminoácidos para síntese proteica, minimizando o seu uso como fonte de energia (Pinto  
195 et al., 2003).

196 A metionina, principal aminoácido limitante, é o mais importante doador de  
197 grupos metil no organismo das aves, e atua diretamente na biossíntese de substâncias  
198 envolvidas no crescimento, como cisteína, creatina, carnitina, poliaminas, epinefrina,  
199 colina e melatonina (Baker et al., 1996). Na prática, rações deficientes em metionina  
200 reduzem a produção e o peso dos ovos e aumentam a deposição de gordura no fígado de  
201 poedeiras (Jordão Filho et al., 2006).

202 A exigência em metionina mais cistina digestível para codornas japonesas em  
203 postura, baseada na relação metionina mais cistina digestível: lisina digestível, que  
204 maximiza a massa de ovos é estimada pelo NRC (1994) em níveis que variam de 0,65 a  
205 0,70% (Allen e Young 1980; Reis, 1980). Valor semelhante foi encontrado por Pinto et  
206 al., (2003), que estimaram a exigência de metionina mais cistina para codornas japonesas  
207 em 0,727% da ração, para um consumo diário de 164,0 mg de metionina mais cistina  
208 digestível.

209 Ainda, considerando o ponto de máxima, obtido para as variáveis massa de ovos,  
210 peso de ovos e taxa de postura, é recomendado a oferta 0,90% de metionina + cistina  
211 digestível na ração de codornas japonesas na fase de postura, correspondendo ao consumo  
212 diário de 241,54mg de metionina + cistina digestível/dia, respectivamente (Rodrigues et  
213 al., 2023).

214 A lisina é o segundo aminoácido limitante em rações para aves, atuando na  
215 deposição de proteína corporal e na síntese de carnitina, que atua no transporte de ácidos  
216 graxos para a  $\alpha$ -oxidação na mitocôndria (Barreto et al., 2006). É considerado aminoácido  
217 padrão no conceito de proteína ideal, sendo utilizada como referência para estimativa das  
218 exigências dos demais aminoácidos (Pinto et al., 2003). Assim, o interesse por estudos  
219 com esse aminoácido na alimentação de aves, se justifica principalmente pelo fato de que  
220 a lisina tem baixo custo de suplementação e pode afetar o desempenho das codornas  
221 (Costa et al., 2008).

222 Na fase de produção, as codornas japonesas exigem níveis de lisina que podem  
223 variar entre 1,07 a 1,08%, em rações com 14,10% de proteína bruta, sem afetar a taxa de  
224 postura e peso médio dos ovos (Oliveira et al., 1999). Já Ribeiro et al. (2003), indicaram

225 1,07 e 1,15% de lisina digestível para dietas com 20 e 23% de proteína bruta,  
226 respectivamente. Pinto et al. (2003) sugeriram 1,117% de lisina digestível para dietas com  
227 19,56% proteína bruta para codornas japonesas em postura. Costa et al. (2008)  
228 recomendam 1,030% de lisina na ração de codornas japonesas em postura, o que  
229 corresponde a um consumo diário de 292 mg.

230 Para Rostagno et al. (2017), as codornas japonesas em fase de postura exigem  
231 em torno  $2.800\text{kcal}.\text{kg}^{-1}$  de energia metabolizável, 19% de proteína, 3,158% de cálcio,  
232 0,298 de fósforo digestível, 0,155 de sódio, 1,046% de ácido linoleico, 1,107 % de lisina,  
233 0,908% de metionina+cisteína, 0,675 de treonina, 0,232% de triptofano, 1,273% de  
234 arginina, 1,262% de glicina+serina, 0,830% de valina, 0,720% isoleucina, 1,661% de  
235 leucina, 0,465% de histidina e 1,494% de fenilalanina+tirosina.

236 Desta forma, com vistas à redução dos custos com a alimentação, a utilização de  
237 ingredientes alternativos nas rações, além de reduzir custos na produção de ovos, é uma  
238 oportunidade de encontrar outras fontes com valores nutricionais satisfatórios, que  
239 mantenha o bom desempenho animal, e reduza os custos produtivos, trazendo assim,  
240 melhores retornos econômicos aos criadores (Silva et al., 2003).

## 241 **2.5. Impacto dos alimentos alternativos nos custos com alimentação de codornas 242 japonesas**

243 O crescimento dos rebanhos de codornas japonesas tem chamado atenção para a  
244 realização de pesquisas referentes à nutrição desses animais, uma vez que, na criação  
245 dessas aves, a alimentação representa grande parte dos custos produtivos, isso ocorre  
246 devido a oscilação nos preços dos principais ingredientes da ração, como é o caso do  
247 milho e da soja, que juntos respondem por cerca de 70% dos custos com a alimentação  
248 dessas aves (Silva et al., 2012).

249 Esse fator torna essencial a busca por alimentos alternativos que possam substituir  
250 esses ingredientes, possibilitando a redução no investimento na alimentação, e ao mesmo  
251 tempo que permita a manutenção das características nutricionais das dietas sem afetar o  
252 desempenho animal (Ribeiro et al., 2003).

253 O uso de alimentos alternativos na produção animal reduz custos e possibilita que  
254 culturas vegetais ou resíduos gerados na propriedade sejam destinadas a alimentação

255 animal, gerando um sistema sustentável, que se enquadra nos processos de produção  
256 agroecológica (Santos et al., 2017).

257 Contudo, na utilização de alimentos alternativos deve-se observar sempre a  
258 qualidade e a disponibilidade regional do produto que será utilizado (Ferreira et al., 2019).  
259 Segundo Oliveira et al. (2018a) os alimentos alternativos possuem grande capacidade de  
260 auxiliar na nutrição animal, oferecendo melhorias no desempenho zootécnico e redução  
261 dos custos.

262 Outro fator importante no uso de fontes alternativas, é a possibilidade de geração  
263 de valor de mercado para os mesmos, tornando sua exploração de forma comercial como  
264 fonte alimentar alternativa (Oliveira et al., 2014). Atualmente, vários alimentos  
265 alternativos são gerados pelo processamento de frutas, grão e partes de plantas, podendo  
266 ser utilizados na alimentação de aves de corte ou poedeiras, principalmente por suas  
267 características nutricionais como por sua disponibilidade (Paulo et al., 2019).

268 Ao testarem o resíduo da castanha de caju na alimentação de codornas japonesas,  
269 Soares et al. (2007) recomenda a utilização até o nível de 16%, pois não afeta o  
270 desempenho produtivo das aves. O farelo da castanha do caju apresenta alto teor  
271 energético, com aproximadamente 6.306 a 6.764 kcal/kg de energia bruta na matéria  
272 natural, e teor proteico de 22,15 a 38,12% de proteína bruta (Onifade et al., 1998,  
273 Onifade et al., 1999; Ojewola et al., 2004). Em razão destas características, pode  
274 ser um substituto parcial do milho e do farelo de soja nas rações de aves (Freitas et al.,  
275 2006b).

276 Duarte et al. (2013) testaram o uso da casca da soja na alimentação de codornas  
277 em postura, e indicam seu uso na ração até o nível de 20% sem prejudicar o desempenho  
278 produtivo, a qualidade interna e externa dos ovos e os níveis séricos de colesterol e  
279 triglicerídeos. Da silva et al. (2020), utilizaram o farelo da casca da melancia em dietas  
280 para codornas japonesas e concluíram que pode ser utilizado ao nível de 5% com enzimas  
281 xilanase e -glucanase, sem alterar negativamente o desempenho, qualidade de ovos,  
282 biometria e nas análises sanguíneas das aves.

283 Pereira et al. (2016) utilizaram a raspa da mandioca para codornas em postura e  
284 identificaram que os custos com alimentação reduziram em R\$ 0,1/ave com uso de 18%  
285 na dieta, o que gerou uma rentabilidade de R\$ 0,11 por ave em relação ao tratamento  
286 referência, o que demonstra seu potencial para uso como alimento alternativo para

287 codornas em postura. Trabalhando com dieta orgânica, Oliveira (2020) utilizou o  
288 coproducto da castanha-do-Pará como fonte natural para suprir a necessidade de metionina  
289 para codornas japonesas, e identificou que o coproducto da castanha-do-pará é ingrediente  
290 estratégico para coturnicultura orgânica porque substitui totalmente as fontes sintéticas  
291 de metionina em dietas orgânicas de codornas japonesas.

292 Além do uso de produtos ou subprodutos de origem vegetal, também tem sido  
293 testadas outras fontes alternativas na alimentação de codornas japonesas, como no  
294 trabalho de Prates et al. (2023), que relatam que é possível o uso de insetos, a exemplo  
295 das baratas, besouros, grilos, mariposas e moscas, como ingrediente nas dietas dessas  
296 aves, substituindo ingredientes usuais ou enriquecendo a dieta, mantendo e até  
297 melhorando o desempenho produtivo, devido suas propriedades nutricionais.

298 Dessa forma, os alimentos alternativos são estratégicos para uso em dietas de  
299 codornas japonesas, uma vez que possibilita seu uso sem afetar negativamente o  
300 desempenho das aves, além de proporcionar ao criar uma maior rentabilidade, através da  
301 redução dos custos com alimentação.

### 302 **2.6. Aspectos gerais e produtivos da ora-pro-nóbis (*Pereskia aculeata* Mill)**

303 O acrônimo PANC, foi um termo utilizado pelo Biólogo Vadely Ferreira em  
304 2008, para definir as plantas nativas ou exóticas, cultivadas ou espontâneas, com partes  
305 comestíveis, que não estão incluídas diariamente na alimentação (Kinupp, 2007). São  
306 tidas como plantas cosmopolitas daninhas, devido sua fácil adaptação e germinação, com  
307 cultivo disseminado por todo o planeta, pela ação do homem na natureza (Sartori et al.,  
308 2020).

309 No Brasil, existem pelo menos 3 mil espécies de plantas alimentícias com  
310 ocorrência conhecida. No entanto, estima-se que pelo menos 10% da flora nativa  
311 brasileira, o que corresponde a 4 ou 5 mil espécies de plantas, sejam utilizadas para fins  
312 alimentícios (Nouhuys et al., 2015).

313 As diferentes espécies que se enquadram na categoria de PANC são fontes ricas  
314 de macro e micronutrientes, além de possuírem compostos bioativos que podem  
315 apresentar propriedades importantes na prevenção de doenças (Gonçalves et al., 2020). A  
316 ora-pro-nóbis (*Pereskia aculeata* Mill) é um exemplo, pois tem sido utilizada como cerca  
317 vivas, e em várias receitas culinárias, especialmente no estado de Minas Gerais, tido como  
318 pioneiro na utilização das PANCs na culinária regional (Cruz et al., 2020).

Pertencente à família Cactaceae e subfamília Pereskioideae, *P. aculeata* é uma planta de hábito trepador, originária dos trópicos americanos, desde a região sul dos Estados Unidos (Flórida) e com ampla distribuição pelo Brasil (Pinto et al., 2015; Silva et al., 2017), com capacidade de se desenvolver em habitats com escassez hídrica, tornando-as uma alternativa viável para uso na alimentação humana e animal, por apresentarem uma boa fonte nutricional, (Puma Vega et al., 2020).

É popularmente conhecida como lobrobó, lobrodo, guaiapá, groselha-da-América, cipó santo, orabrobó matavelha, trepadeira-limão, espinho-preto, jumbeba, espinho-de-santo-Antônio e rosa-madeira (Rocha, 2009), podendo ser encontrada nas florestas tropicais secas, úmidas e semiárido brasileiro, conhecida por ser tolerante à seca e de elevado valor nutricional (Madeira et al., 2013).

Geralmente, os cactos são plantas verdes e suculentas, folhas ausentes e presença de espinhos, contudo o gênero *Pereskia* é composto por árvores e arbustos que apresentam folhas largas, presença de areolas com espinhos, cálices florais com presença nós e segmentos de perianto em quantidade significativa (Butterworth e Wallace, 2005).

Quanto à sua morfologia, a OPN, é descrita como uma espécie de liana (cipó ou videira lenhosa), de ciclo perene e arbustiva, e pode atingir mais de 4m de altura, que se tornou uma planta invasora no mundo (Venter et al., 2022). As hastes mais velhas, são bem lignificadas, e com presença de espinhos proeminentes que exigem cuidado no manuseio (Telles et al., 2016; Madeira et al., 2016).

Suas folhas são elípticas de coloração verde-escura, com pecíolos curtos e textura suculenta, de 3 a 15cm de comprimento, com presença de epiderme, com paredes espessas compostas de estômatos em ambos os lados (Duarte e Hayashi, 2005). Possui inflorescências curtas e numerosas, de cor variando de amarelo-creme a vermelho, com tamanho de 3 a 8 cm até 15, dispostas na folhagem e formadas na primavera visitadas por abelhas e mamangavas devido seu odor atraente (Telles et al., 2016; Madeira et al., 2016).

Seus frutos são de formato oval e periforme, quando maduros, são globulares, amarelados, ou de verão, visitados por abelhas e abelhas carpinteiras e podem ser aplicados na fabricação de sucos, geleias, mousses e licores; enquanto suas sementes são de coloração preta e podem ser germinadas para produzir brotos comestíveis (Francelin et al., 2021).

350 Em algumas comunidades de baixa renda, é conhecida como a 'carne dos pobres',  
351 sendo a principal fonte de proteína disponível (Arruda et al., 2016; Pinto et al., 2016). É  
352 utilizada no preparo de saladas, sopas, omeletes e tortas, e a farinha das folhas pode servir  
353 como elemento enriquecedor na formulação de pães, bolos, massas e como fonte  
354 complementar para alimentação animal (Francelin et al., 2021).

355 Apresenta boa tolerância a restrições hídricas e adaptabilidade a diferentes tipos  
356 de solo, o que torna um vegetal com potencial para exploração na alimentação animal,  
357 nas regiões semiáridas do Brasil (Brasil, 2010; Takeiti et al., 2009). A propagação por  
358 estquia é a comumente utilizada, pois apresenta alta taxa de enraizamento e brotação (de  
359 Miranda et al., 2018).

360 Nas etapas de cultivo, durante o manejo de poda e colheita, são encontradas  
361 dificuldades, devido a presença de acúleos e espinhos, o que torna sua inserção e um  
362 sistema de cultivo para produção de brotos, uma alternativa viável de exploração  
363 socioeconômica, pois componentes morfológicos estão presentes de forma mais terna e  
364 herbáceos, e assim sejam inofensivos à integridade física do agricultor (Madeira et al.,  
365 2016).

366 Quanto ao rendimento produtivo, em cultivos mais adensados, com adoção de  
367 espaçamentos menores, a ora-pro-nóbis pode produzir cerca de 5.759kg de proteína nas  
368 folhas por hectare, superior a espécies comumente utilizadas na alimentação humana e  
369 animal, como o milho e a soja, que podem produzir 514,7 e 1.154kg, por hectare por  
370 ano, respectivamente (Souza et al., 2020).

## 371 **2.7. Composição nutricional da ora-pro-nóbis**

372 Os primeiros estudos sobre os componentes nutricionais presente em ora-pro-  
373 nóbis, foram realizados por Almeida Filho e Cambraia (1974), que encontraram um teor  
374 de 25% proteínas nas folhas, o que sugere sua utilização em diversas finalidades  
375 alimentares. Silva et al. (2018) e de Andrade et al. (2011), encontraram 9,6 e 30%,  
376 respectivamente, de proteína nas folhas de plantas adultas de ora-pro-nóbis. Já Vieira e  
377 Megger (2017), após a caracterização química das folhas e caule de ora-pro-nóbis,  
378 obtiveram 27,79 e 13,04% de proteínas, respectivamente.

379 Segundo Mazia (2012), 85% do teor proteico presente é digerível, com presença  
380 de aminoácidos essenciais importantes, como a lisina, leucina e valina. Assim, essa espécie  
381 é estratégica e agrupa na alimentação de pessoas de comunidades carentes, que podem

382 utilizar diretamente em sua alimentação, ou como alimento alternativo na produção  
383 animal (Rocha et al., 2009).

384 É também, uma boa fonte de possuir fibras alimentares e minerais como cálcio,  
385 ferro, fósforo, cobre e magnésio em níveis elevados, quando comparados com outros  
386 vegetais, e seu consumo pode auxiliar no tratamento da desnutrição infantil em  
387 comunidades carentes (Toffaneli e Resende, 2011).

388 O conteúdo significativo de fibras dietéticas alimentares, presentes nas folhas,  
389 incluindo frações solúveis e insolúveis, alerta para a necessidade de exploração desse  
390 vegetal na produção animal, pois seu consumo está associado ao bom funcionamento do  
391 trato intestinal, bem como na diminuição de inúmeras doenças (Dhingra et al., 2012).

392 Ao avaliar o teor de fibras alimentares, teor de minerais, vitaminas, e conteúdo  
393 proteico, Takeiti et al. (2009) encontraram valores inferiores (3,8%) em relação aos  
394 presentes em folhas de batata-doce (5,9%), porém similar ao espinafre, que possui alto  
395 valor de fibra alimentar. Ao relacionar as fibras dietéticas solúveis, os resultados (5,2%)  
396 encontrados por Ishida et al., (2000) foram muitos semelhantes aos presentes na batata-  
397 doce 6,8 e 5,2%.

398 É uma excelente fonte de microelementos, com destaque para manganês, zinco  
399 e ferro, com teores de 4,64, 2,67 e 1,41%, respectivamente (Chaturvedi et al., 2001).  
400 Conteúdos precursores de vitaminas do complexo A, B, C e E, compostos fenólicos e  
401 carotenoides também são encontrados nas frações frescas das folhas de OPN, o que  
402 justifica sua utilização pela medicina popular como vegetal importante no tratamento de  
403 doenças (Santos et al., 2015; Ishida et al., 2000).

404 Os principais compostos fenólicos presentes em OPN são o ácido cáftárico,  
405 quercetina-3-O-rutinosídeo e isorhamnetina-Opentosídeo-O-rutinosídeo, de ação  
406 antioxidante, atividade antimicrobiana, o que sugere a presença de um amplo espectro de  
407 fitoquímicos com atividade antibiótica (Garcia et al., 2019). Os fitoquímicos causa efeito  
408 antimicrobianos sobre determinados grupos de microrganismos patogênicos, produtores  
409 de toxinas que alteram a qualidade dos alimentos, o que revela o potencial da OPN, como  
410 ingrediente funcional na conservação de alimentos (Biondo, 2018).

411 A ora-pro-nóbis possui em suas folhas altos teores de aminoácidos, que participam  
412 diretamente da síntese proteica, sendo encontrado cerca de 2,67g.100g<sup>-1</sup> de peso seco de  
413 ácido glutâmico, principal aminoácido não essência, equivalente a 9,9% do conteúdo total

414 de aminoácidos. O triptofano (5,52 g/100 g de matéria seca) é o principal aminoácido  
415 não essencial presente, contribuindo com 20,46% em relação ao conteúdo total de  
416 aminoácidos (Takeiti et al., 2009).

417 Almeida Filho e Cambraia (1974) e Albuquerque et al., (1991) também relataram  
418 bons teores de aminoácidos em OPN, com destaque para a arginina (1,44g.100g<sup>-1</sup>),  
419 histidina (0,59g.100g<sup>-1</sup>), isoleucina (1,07g.100g<sup>-1</sup>), leucina (2,0g.100g<sup>-1</sup>), lisina  
420 (1,43g.100g<sup>-1</sup>), metionina (0,23g.100g<sup>-1</sup>), fenilalanina (1,27g.100g<sup>-1</sup>), treonina  
421 (1,00g.100g<sup>-1</sup>) e valina (1,23g.100g<sup>-1</sup>), o que eleva mais ainda o seu potencial para  
422 utilização na alimentação animal, a exemplos das aves poedeiras, como as codornas  
423 japonesas.

424 Por tanto, as características nutricionais existentes, torna-a uma planta  
425 estratégica, especialmente nas regiões com escassez de recursos para alimentação animal,  
426 pois além de possuir um excelente perfil nutritivo, também é de fácil adaptação às  
427 condições existentes nessas regiões (Hissatomi, et al., 2020).

428 Assim, conhecer e entender o potencial da OPN se faz necessário, de modo a  
429 garantir sua inserção nos mais distintos nichos de mercado, abri espaço para pesquisas  
430 para reforçar a possibilidade de seu uso na alimentação animal (Soares et al., 2022).

### 431 **2.8. Fatores antinutricionais e uso da ora-pro-nóbis na alimentação animal**

432 O uso de vegetais na alimentação animal requer atenção especial, pois a presença  
433 de fatores antinutricionais, substâncias naturais provenientes do seu metabolismo  
434 secundário, podem afetar diretamente a saúde e desempenho (Rodrigues et al., 2015). Os  
435 vegetais podem acumular altas concentrações dessas substâncias, que podem desencadear  
436 reações tóxicas e/ou interferir na biodisponibilidade e digestibilidade de alguns nutrientes  
437 (Santos, 2006).

438 Quanto aos fatores antinutricionais existentes em ora-pro-nóbis, tem sido  
439 relatado a presença de ácido fítico, ácido oxálico, inibidor de tripsina e saponinas, porém  
440 os teores de saponinas são inferiores aos presentes em mandioca, espinafre e taioba  
441 (WOBETO et al.,2007; Fenwick e Oakenfull, 1983; Almeida et al., 2014). Os valores de  
442 inibidor de tripsina são inferiores ao encontrado na soja, segundo Hafez (1987).

443 O ácido oxálico reduz a biodisponibilidade do cálcio, o que afeta a atividade  
444 renal, pois nos rins este mineral complexa com este ácido aumentando a excreção de  
445 oxalato de cálcio (Santos, 2006). O teor de ácido oxálico presente na ora-pro-nóbis

446 relatado por Almeida et al. (2014) foi de 41mg 100g<sup>-1</sup> MS, quantidade insuficiente para  
447 formar o complexo de oxalato de cálcio. Assim, sugere-se que os teores de ácido oxálico  
448 presente nas farinhas de ora-pro-nóbis também não formem o complexo com o mineral  
449 cálcio, mediante a sua comparação com a couve e a taioba.

450 Ao avaliar os efeitos da farinha de ora-pro-nóbis em ratos submetidos a dieta  
451 hiperlipídica, Pereira (2023) relatou que o uso da ora-pro-nóbis proporcionou uma boa  
452 eficiência energética, uma redução da glicose sérica, colesterol total e aumento dos  
453 triglicerídeos e lipoproteínas de alta densidade (HDL), causando efeito positivo nos  
454 parâmetros avaliados, demonstrando ser um alimento com potencial no controle e  
455 tratamento da obesidade.

456 Já Retchesk et al (2021), avaliaram o potencial da ora-pro-nóbis como  
457 suplemento alimentar na dieta de tilápias do Nilo, e observaram que o uso de até 10% de  
458 ora-pro-nóbis, melhorou os parâmetros zootécnicos dos animais, resultando em maior  
459 crescimento no período estudado. Trabalhando com substituição do farelo de trigo por  
460 farelo de folhas de ora-pro-nóbis na dieta de frangos de corte, na fase de engorda, Souza  
461 et al., (2020), observaram que a substituição de 10% não causa prejuízo na conversão  
462 alimentar das aves.

463 Já dos Santos Medeiros et al. (2011), ao avaliarem os efeitos da suplementação  
464 de suínos confinados sob diferentes inclusões (1,5g /kg; 3,0 g/kg e 4,5 g/kg) de extrato de  
465 “ora-pro-nóbis” *Pereskia aculeata* Mill na dieta destes animais no período de 7-28 dias de  
466 idade, identificaram após as análises de fibra bruta, proteína bruta e ferro, que a ora-pro-  
467 nóbis pode ser um alimento alternativo para leitões de 7-28 dias, porém ressaltam que é  
468 necessária a realização de análises para identificar principalmente a presença de fatores  
469 antinutricionais.

470 Corroborando com o trabalho anterior, Junior et al. (2012), ao avaliarem a  
471 utilização da parte aérea da ora-pro-nóbis (*Pereskia aculeata* Mill) na dieta de matrizes  
472 suínas no terço final da gestação até o primeiro dia de vida do leitão, concluíram dietas  
473 com 3,0g de ora-pro-nóbis/kg de ração e 4,5g de ora-pro-nóbis/kg de ração, na dieta das  
474 matrizes no terço final de gestação não afetou o desenvolvimento dos leitões, contudo  
475 não ficou evidente seu efeito na redução de anemia em leitões pela avaliação dos níveis  
476 de ferro no sangue dos animais.

477 Desta forma, seu uso na alimentação de codornas japonesas pode permitir ao  
478 criador, mais uma fonte alternativa para alimentação dessas aves, ajudando na redução  
479 dos investimentos produtivos dessa importante cadeia produtiva.

480

481

482

483

484

485

486

487

488

489

490

491

492

493

494

495

496

497

498 **REFERÊNCIAS**

- 499 Albino, LFT; Barreto, SLT. 2003. Criação de codornas para produção de ovos e carnes.  
500 capítulo 17: incubação artificial de ovos férteis, p. 209. 1º Ed. Viçosa. Universidade  
501 Federal de Viçosa, Viçosa, MG.
- 502 Albino, LFT; Neme, R. 1998. Codornas: Manual Prático de Criação de Codornas. 1º ed.  
503 Viçosa: Aprenda Fácil. p.56. Universidade Federal de Viçosa, Viçosa-MG.
- 504 Albuquerque, MF; Garcia, AML; Silva, IHL. 2021. Produção, custo e bem estar de  
505 galinha caipira da linhagem Embrapa 051 na agricultura familiar. Agricultura Familiar:  
506 Pesquisa, Formação e Desenvolvimento, v. 14, n. 2, p. 121-139. ISSN 1414-0810.
- 507 Albuquerque, MGPT; Sabaa-Srur, AUO; Freiman, LO. 1991. Composição centesimal e  
508 escore de aminoácidos em três espécies de ora-pro-nobis (*Pereskia aculeata* Mill. P. bleu  
509 de Candolle e *P. pereskia* (L) Karsten). Boletim da Sociedade Brasileira de Ciência e  
510 Tecnologia de Alimentos, v. 25, n. 1, p. 7-12.
- 511 Almeida Filho, J; Cambraia, J. 1974. Estudo do valor nutritivo do “ora-pro-nobis”  
512 (*Pereskia aculeata* Mill.). Revista Ceres, Viçosa, v. 21, n. 114, p. 105-11. ISSN 2177-  
513 3491.
- 514 Almeida, MEFD., Junqueira, AMB., Simão, AA., Corrêa, AD. 2014. Caracterização  
515 química das hortaliças não-convencionais conhecidas como ora-pro-nobis. Biosci. j.  
516 (Online), 431-439.
- 517 Amaral, TN; Junqueira, LA; Prado, MET; Cirillo, MA; De Abreu, LR; Costa, FF; De  
518 Resende, JV. 2018. Blends of *Pereskia aculeata* Miller mucilage, guar gum, and gum  
519 Arabic added to fermented milk beverages. Food Hydrocolloids, v. 79, p. 331-342,  
520 <https://doi.org/10.1016/j.foodhyd.2018.01.009>
- 521 Andrade, R; Oliveira, FDM; Morais, SAL.; Pavani, LC. 2011. Avaliação físico-química  
522 de folhas de ora-pro-nóbis obtidas de plantas catalogadas no município de Uberlândia,  
523 MG. In: Seminário de Iniciação Científica I, Instituto Federal do Triângulo Mineiro,  
524 Uberlândia.

- 525 Andújar, MM; Navarro, MP; Varela, G. 1977. The effect of Ca/P relation on utilization  
526 of both nutrients in laying quails (author's transl). Revista Espanola de Fisiologia, 33(4),  
527 pp.305-309. Dec;33(4):305-309. PMID: 594488.
- 528 Arruda, HS; de Cássia Sevilha, A; Pereira, MT; de Almeida, MEF. 2016. Substituição  
529 parcial da farinha de trigo pelas farinhas de grão-de-bico e de ora-pro-nobis na elaboração  
530 de um pão. Nutrição Brasil, 15(2), 99-107, <https://doi.org/10.33233/nb.v15i2.222>
- 531 Baker, DH; Fernandez, SR; Webel, DM; Parsons, CM. 1996. Sulfur amino acid  
532 requirement and cystine replacement value of broiler chicks during the period three to six  
533 weeks posthatching. Poultry Science, v. 75, n. 6, p. 737-742,  
534 <https://doi.org/10.3382/ps.0750737>
- 535 Barreto, SLDT; Quirino, BJDS; Brito, CO; Umigi, RT; Araujo, MSD; Rocha, TCD;  
536 Pereira, CG. 2007. Efeitos de níveis nutricionais de energia sobre o desempenho e a  
537 qualidade de ovos de codornas europeias na fase inicial de postura. Revista Brasileira de  
538 Zootecnia, 36, 86-93, <https://doi.org/10.1590/S1516-35982007000100011>
- 539 Baumgartner, J. 1994. Japanese quail production, breeding and genetics. World's Poultry  
540 Science Journal, v. 50, n. 3, p. 227-235, ISSN 0043-9339.
- 541 Bendlin, L; Souza, A; Rodrigues, R; Seidel, D; Bublitz, V. 2019. Comparação da  
542 produção de ovos vermelhos x brancos: uma análise dos custos de produção, expectativas  
543 de retorno e riscos. Custos e@ gronegócio online, v. 15, p. 202-239, ISSN 1808-2882.
- 544 Benivente, AC; Moraes, JAT; da Silva, LP; Junior, EF. 2022. CRIAÇÃO E MANEJO  
545 DA CODORNA COTURNIX JAPÔNICA. Revista Interface Tecnológica, v. 19, n. 2, p.  
546 691-701, <https://doi.org/10.31510/infa.v19i2.1483>
- 547 Bertechini, AG. 2010. Situação atual e perspectivas para a coturnicultura no Brasil.  
548 In: Simpósio Internacional e III Congresso Brasileiro de Coturnicultura. Universidade  
549 Federal de Lavras, Lavras.
- 550 Biondo, E; Fleck, M; Kolchinski, EM; Voltaire, SA; Polesi, RG. 2018. Diversidade e  
551 potencial de utilização de plantas alimentícias não convencionais ocorrentes no Vale do

- 552 Taquari, RS. Revista Eletrônica Científica UERGS, v. 4, n. 1, p. 61-90,  
553 <https://doi.org/10.21674/2448-0479.41.61-90>
- 554 Brasil. 2010. Manual de Hortaliças não-convencionais. 1ed. 92 p, Brasília-DF.
- 555 Butterworth, CA; Wallace, RS. 2005. Molecular phylogenetics of the leafy cactus genus  
556 Pereskia (Cactaceae). Systematic Botany, v. 30, n. 4, p. 800-808,  
557 <https://doi.org/10.1600/036364405775097806>
- 558 Chaturvedi, P; Warren, CD; Altaye, M; Morrow, AL.; Ruiz-Palacios, G; Pickering, LK;  
559 Newburg, DS. 2001. Fucosylated human milk oligosaccharides vary between individuals  
560 and over the course of lactation. Glycobiology, 11 (5), pp. 365-372,  
561 <https://doi.org/10.1093/glycob/11.5.365>
- 562 Costa, FGP; Rodrigues, VP; Goulart, CDC; Lima Neto, RDC; Souza, JGD; Silva, JHVD.  
563 2008. Exigências de lisina digestível para codornas japonesas na fase de postura. Revista  
564 Brasileira de Zootecnia, v. 37, p. 2136-2140, [https://doi.org/10.1590/S1516-  
565 35982008001200009](https://doi.org/10.1590/S1516-35982008001200009)
- 566 Da Natividade, ACS. 2021. Qualidade físico-química e microbiológica de ovos de  
567 codorna japonesa: um referencial teórico. Ciência e Tecnologia de Alimentos: Pesquisa  
568 E Práticas Contemporâneas, p. 477-491, <https://dx.doi.org/10.37885/210504554>
- 569 Da Silva Rumão, J; Brito, DAP; Reinehr, CO; Conceição, AO; Frazão, RM. 2020.  
570 Ocorrência de *Salmonella* spp. e de microrganismos indicadores de qualidade em ovos  
571 comercializados na Região Metropolitana de São Luís, Maranhão. Research, Society and  
572 Development, 9(8), e864986175-e864986175, <https://doi.org/10.33448/rsd-v9i8.6175>
- 573 Da Silva, CV; de Lima Vieira, M; Gouveia, ABVS; de Paulo, LM de Oliveira, NC;  
574 Moreira, IM; Minafra, CS 2020. Casca de melancia, xilanase e-glucanase em dietas para  
575 codornas japonesas. Research, Society and Development, 9(8), e754985413-  
576 e754985413, <http://dx.doi.org/10.33448/rsd-v9i8.5413>
- 577 Da Silva, DO; Primio, EM; Botelho, FT; Gularte, MA. 2014. Valor nutritivo e análise  
578 sensorial de pão de sal adicionado de *Pereskia aculeata*. DEMETRA: Alimentação,  
579 Nutrição & Saúde, 9(4), 1027-1040, <https://doi.org/10.12957/demetra.2014.11119>

- 580 De Miranda Souza, MR; Dos Santos, IC; Pedrosa, MW; Silva, AF; Sediyama, MAN.  
581 2018. Ora-pro-nóbis: cultivo e produção para o mercado1. Circular Técnica n. 280. ISSN  
582 0103-4413.
- 583 De Oliveira Almeida, TJ; de Araújo, VV; da Silva, AV; Ferreira, R; Silva, NDAS;  
584 Santana, MD; de Oliveira, VP. 2013. Evolução da produção de codornas para abate e  
585 postura no Brasil. XIII Jornada de ensino, pesquisa e extensão-JEPEX, Universidade  
586 Federal Rural de Pernambuco, Recife-PE.
- 587 De Oliveira, HF; Carvalho, DP; Ismar, MG; Rezende, PM; Camargo, SMP; Souto, CN;  
588 De Oliveira, SB. 2019. Fatores intrínsecos a poedeiras comerciais que afetam a qualidade  
589 físico-química dos ovos. PubVet, v. 14, p. 139,  
590 <https://doi.org/10.31533/pubvet.v14n3a529.1-11>
- 591 De Paula Souza, W; Gomes, FA; De Souza, EM; De Freitas, HJ. 2020. Inclusão do farelo  
592 de bolacha na alimentação de frangos de corte de linhagem caipira. Brazilian Journal of  
593 Development, v. 6, n. 6, p. 39810-39824, <https://doi.org/10.34117/bjdv6n6-500>
- 594 Dhingra, D; Michael, M; Rajput, H; Patil, RT. 2012. Dietary fibre in foods: a review.  
595 Journal of food science and technology, v. 49, p. 255-266,  
596 <https://doi.org/10.1007/s13197-011-0365-5>
- 597 Dos Santos Medeiros, SL; de Paula, ACC. 2011. UTILIZAÇÃO DA PARTE AÉREA  
598 DA ORA-PRO-NÓBIS (*Pereskia aculeata* Mill) NA DIETA DE LEITÕES DE 7-21  
599 DIAS DE IDADE. IV Semana de Ciência e Tecnologia IFMG – Campus Bambuí,  
600 Bambuí, MG.
- 601 Dos Santos, WM; dos Santos, SM; Rebello, FK; dos Santos, MAS; Soares, BC; de  
602 Loureiro, JPB. 2021. Conjuntura da produção de ovos de codorna no Estado do Pará.  
603 Research, Society and Development, v. 10, n. 14, p. e253101421873-e253101421873,  
604 <https://doi.org/10.33448/rsd-v10i14.21873>
- 605 Duarte, CRA; Murakami, AE; Mello, KS; Picoli, KP; Garcia, AFQM; Ferreira, MFZ.  
606 2013. Casca de soja na alimentação de codornas. Semina: Ciências Agrárias, 34(6): 3057-  
607 3068, <https://doi.org/10.5433/1679-0359.2013v34n6p3057>

- 608 Duarte, MR; Hayashi, SS. 2005. Estudo anatômico de folha e caule de *Pereskia aculeata*  
609 Miller (Cactaceae). Revista Brasileira de Farmacognosia, Curitiba, v.15, n.2, p.103-109,  
610 abr./jun, <https://doi.org/10.1590/S0102-695X2005000200006>
- 611 Fenwick, DE; Oakenfull, D. 1983. Saponin content of food plants and some prepared  
612 foods. Journal of the Science of Food and Agriculture, v. 34, n. 2, p. 186-191,  
613 <https://doi.org/10.1002/jsfa.2740340212>
- 614 Ferreira, TS; Lana, SRV; Lana, GRQ; Madalena, JÁ; Silva, LCL; Torres, EC. 2019.  
615 Resíduo de acerola em dietas para codornas. Arquivo Brasileiro de Medicina Veterinária  
616 e Zootecnia, 71(1): 259-266, <https://doi.org/10.1590/1678-4162-9965>
- 617 Ferronato, C; Bittencourt, TM; Lima, HJD; Valentim, JK; Martins, ACDS; Silva, NEM.  
618 2020. Farelo de algodão na dieta de codornas japonesas. Boletim de Indústria Animal, v.  
619 77, p. 1-8, <https://doi.org/10.17523/bia.2020.v77.e1468>
- 620 Francelin, MF; Machado, LM; da Silva, DDMB; da Silva Alves, E; Peralta, RM; Costa,  
621 SC; Monteiro, ARG. 2021. Desenvolvimento e caracterização de snack de milho  
622 extrusado com adição de farinha de ora-pro-nóbis. Research, Society and Development,  
623 10(3), e2910312850-e2910312850, <https://doi.org/10.33448/rsd-v10i3.12850>
- 624 Freitas, ER; Fuentes, MFF; Santos, AJ; Guerreiro, MEF; Espíndola, GB. 2006b. Farelo  
625 de castanha de caju em rações para frangos de corte. Pesquisa Agropecuária Brasileira,  
626 41(6): 1001-1006, <https://doi.org/10.1590/S0100-204X2006000600016>
- 627 Garcia, AFQM; Murakami, AE; Massuda, EM; Urgnani, FJ; Potenza, A; Duarte, CRDA;  
628 Eyng, C. 2012. Milheto na alimentação de codornas japonesas. Revista Brasileira de  
629 Saúde e Produção Animal, v. 13, p. 150-159. ISSN 1519-9940.
- 630 Garcia, ER de M; Ávila, LR de; Cruz, FK da; Souza, RPP; Batista, NR; Feliciano, WB;  
631 Arguello, NN. 2015. Qualidade de ovos de codornas japonesas: efeito da idade da ave,  
632 temperatura de conservação e período de armazenamento. Arq. Ciênc. Vet. Zool.  
633 UNIPAR, Umuarama, v. 18, n. 4, p. 211-220,  
634 <https://doi.org/10.25110/arqvvet.v18i4.2015.5746>

- 635 Garcia, JAA; Corrêa, RC; Barros, L; Pereira, C; Abreu, RM; Alves, MJ; Ferreira, IC.  
636 2019. Phytochemical profile and biological activities of 'Ora-pro-nobis' leaves (*Pereskia*  
637 *aculeata* Miller), an underexploited superfood from the Brazilian Atlantic Forest. *Food*  
638 *chemistry*, v. 294, p. 302-308, <https://doi.org/10.1016/j.foodchem.2019.05.074>
- 639 Genchev, A. 2012. Quality and composition of Japanese quail eggs (*Coturnix*  
640 *japonica*). *Trakia Journal of Sciences*, v. 10, n. 2, p. 91-101. ISSN 1313-3551.
- 641 Gonçalves, RP; Lima, JR; Moraes, LO. 2020. Hortas como formas de utilização e  
642 disseminação de plantas alimentícias não convencionais no Brasil. *FTT Journal of*  
643 *Engineering and Business*, n. 6. ISSN 2525-8729.
- 644 Granghelli, CA; Burbarelli, MF; Lelis, KD; Pelissari, PH; Utimi, NB; Leite, BG; Araújo,  
645 CS. 2019. Effects of dietary metabolizable energy levels and beak trimming on the  
646 performance, egg quality, and economic viability of layers. *Poultry Science*, 98(11),  
647 5831-5839, <https://doi.org/10.3382/ps/pez145>
- 648 Guimarães, MCDC; Furtado, DA; do Nascimento, JW; Tota, LDC; Silva, CMD; Lopes,  
649 KBDP. 2014. Efeito da estação do ano sobre o desempenho produtivo de codornas no  
650 semiárido paraibano. *Revista Brasileira de Engenharia Agrícola e Ambiental*, v. 18, p.  
651 231-237. <https://doi.org/10.1590/S1415-43662014000200015>
- 652 Hafez, YS. 1983. Nutrient composition of different varieties and strains of soybean.  
653 *Nutrition reports international*, v. 28, n. 6, p. 1197-1206.
- 654 Hissatomi, CM; Gorgen, DK; de Souza Roginski, G; Hoffmann, LF; da Silva, TM;  
655 Carnitatto, I; Garcia, JRN. 2020. Utilização da planta alimentícia não convencional ora  
656 pro nobis em educação Nutricional. *Brazilian Journal of Animal and Environmental*  
657 *Research*, v. 3, n. 4, p. 3846-3855, <https://doi.org/10.34188/bjaerv3n4-084>
- 658 Inman, DL. 1973. Cellulose digestion in ruffed grouse, chukar partridge, and bobwhite  
659 quail. *The Journal of Wildlife Management*, pp.114-121.  
660 <https://doi.org/10.2307/3799750>
- 661 Instituto Brasileiro de Geografia e Estatística (IBGE). Pesquisa pecuária municipal. 2021.

- 662 Ishida, H; Suzuno, H; Sugiyama, N; Innami, S; Tadokoro, T; Maekawa, A. 2000.  
663 Nutritive evaluation on chemical components of leaves, stalks and stems of sweet  
664 potatoes (Ipomoea batatas poir). Food chemistry, 68(3), 359-367.  
665 [https://doi.org/10.1016/S0308-8146\(99\)00206-X](https://doi.org/10.1016/S0308-8146(99)00206-X)
- 666 Jeke, A; Phiri, C; Chitindingu, K; Taru, P. 2018. Ethnomedicinal use and pharmacological  
667 potential of Japanese quail (*Coturnix coturnix japonica*) birdsmeat and eggs, and its  
668 potential implications on wild quail conservation in Zimbabwe: A review. Cogent Food  
669 & Agriculture, v. 4, n. 1, p. 1507305. <https://doi.org/10.1080/23311932.2018.1507305>
- 670 Jordão Filho, J; Silva, JHVD; Costa, FGP; Sakomura, NK; Silva, CT; Chagas, NA. 2011.  
671 Prediction equations to estimate the demand of energy and crude protein for maintenance,  
672 gain and egg production for laying Japanese quails. Revista Brasileira de Zootecnia, v.  
673 40, p. 2423-2430, <https://doi.org/10.1590/S1516-35982011001100020>
- 674 Jordão Filho, J; Silva, JHVD; Silva, ELD; Ribeiro, MLG; Martins, TDD; Rabello, CBV.  
675 2006. Exigências nutricionais de metionina+ cistina para poedeiras semipesadas do início  
676 de produção até o pico de postura. Revista Brasileira de Zootecnia, v. 35, p. 1063-1069,  
677 <https://doi.org/10.1590/S1516-35982006000400017>
- 678 Junior, NJL; dos Santos Medeiros, SL; Neves, KCD. 2012. Utilização da parte aérea da  
679 ora-pro-nóbis (*Pereskia aculeata* Mill) na dieta de matrizes suínas no terço final da  
680 gestação até o primeiro dia de vida do leitão. V Semana de Ciência e Tecnologia IFMG -  
681 Campus Bambuí, Bambuí, MG.
- 682 King'ori, AM. 2011. Review of the factores that Egg Fertility and Hatchability in Poultry.  
683 International Journal of Poultry Science 10 (6): 483-492.
- 684 Kinupp, VF. 2007. Plantas alimentícias não-convencionais da região metropolitana de  
685 Porto Alegre, RS. Tese (Dr.). Faculdade de Agronomia da Universidade Federal do Rio  
686 Grande do Sul, Porto Alegre.
- 687 Lima, RC; Costa, FGP; Goulart, CC; Cavalcante, LE; Freitas, ER; Silva, JHV; Rodrigues,  
688 VP. 2014. Exigência nutricional de proteína bruta para codornas japonesas (*Coturnix*

- 689 coturnix japonica) na fase de postura. Arquivo Brasileiro de Medicina Veterinária e  
690 Zootecnia, v. 66, p. 1234-1242, <https://doi.org/10.1590/1678-6414>
- 691 Madeira, NR; Amaro, GB; Melo, RADCE; Botrel, N; Rochinski, E. 2016. Cultivo de Ora-  
692 pro-Nóbis (Pereskia) em Plantio Adensado Sob Manejo de Colheitas Sucessivas. Circular  
693 Técnica 156; Embrapa Hortaliças: Brasília-DF.
- 694 Madeira, NR; Silva, PC; Botrel, N; Mendonça, JL de; Silveira, GSR; Pedrosa, MW. 2013.  
695 Manual de produção de hortaliças tradicionais, Embrapa. Brasília-DF.
- 696 Magalhães, APC. 2007. Qualidade de ovos comerciais de acordo com a integridade da  
697 casca, tipo de embalagem e tempo de armazenamento. Dissertação (M.S.c.), Universidade  
698 Federal Rural do Rio De Janeiro, Seropédica-RJ.
- 699 Marinho, AL. 2011. Qualidade interna e externa de ovos de codornas japonesas armaze-  
700 nados em diferentes temperaturas e períodos de estocagem. Dissertação (M.Sc.).  
701 Universidade Federal de Alagoas, Rio Largo-AL.
- 702 Mazia, RS. 2012. Influência do tipo de solo usado para o cultivo de Pereskia aculeata  
703 sobre propriedade proteica. Revista Saúde e Pesquisa, v. 5, n. 1, p. 59-65. ISSN 1983-  
704 1870.
- 705 National Research Council - NRC. 1994. Nutrient requirements of poultry Washington,  
706 DC: National Academic Press. p.44-45.
- 707 Nouhuys, ISV; Kelen, MEB; Kehl, LC; Brack, P; Silva, DD. 2015. Plantas alimentícias  
708 não convencionais (PANCs): hortaliças espontâneas e nativas. 1<sup>a</sup> ed. Universidade  
709 Federal do Rio Grande do Sul. Porto Alegre-RS.
- 710 Ojewola, GS; Okoye, FC; Agbakuru, I. 2004. Replacement value of cashew-nut meal for  
711 soybean meal in finishing broiler chickens. International Journal of Poultry Science, 3(1):  
712 513-516.
- 713 Oliveira, ADM; Furlan, AC; Murakami, AE; Moreira, I; Scapinello, C; Martins, EN.  
714 1999. Exigência nutricional de lisina para codornas japonesas (*Coturnix coturnix*

- 715 japonica) em postura. Revista Brasileira de Zootecnia, 28, 1050-1053,  
716 <https://doi.org/10.1590/S1516-35981999000500021>
- 717 Oliveira, HF; Santos, JS; Cunha, FSA. 2014. Utilização de alimentos alternativos na  
718 alimentação de codornas. Revista Eletrônica Nutritime, 11(5): 3683-3690.
- 719 Oliveira, HF; Souto, CN; Castro, IC; Mello, HHC; Mascarenhas, AG. 2018a. Resíduos  
720 agroindustriais do processamento de frutas na alimentação de frangos de corte: Revisão.  
721 Revista Portuguesa de Ciências Veterinárias, 113(607): 1-10.
- 722 Oliveira, TJD. 2020. Avaliação do coproduto da castanha-do-Pará como fonte natural e  
723 orgânica de metionina em dietas para codornas japonesas na fase de postura.  
724 (Dissertação). Programa de pós-graduação em Zootecnia. Universidade Federal da  
725 Paraíba. João Pessoa-PB.
- 726 Onifade, AA; Tewe, OO; Fanimo, AO; Okunola, OO; Afolabi, AB. 1998. Replacement  
727 value of cashew nut meal for groundnut-cake in pullet diets: effect on pre-laying  
728 performance and serum biochemical indices. Indian Journal of Animal Science, 68(1):  
729 273-275, <https://epubs.icar.org.in/index.php/IJAnS/article/view/19842>
- 730 Onifade, AA; Tewe, OO; Okunola, OO; Fanimo, AO. 1999. Performance of laying pullets  
731 fed on cereal-free diets based on maize offal, cassava peel and reject cashew nut meal.  
732 British Poultry Science, 40(1): 84-87, <https://doi.org/10.1080/00071669987872>
- 733 Pastore, SM; Oliveira, WD; Muniz, JCL. 2012. Panorama da coturnicultura no  
734 Brasil. Revista eletrônica nutritime, 9(6), 2041-2049.
- 735 Paulo, LM; Gouveia, ABVS; Silva, JMS; Silva, WJ; Santos, JB, Sampaio, AS; Almeida  
736 Júnior, EM; Costa, KO; Sousa, JG; Sousa, FE; Santos, FR; Minafra, CS. 2019.  
737 Coprodutos de frutas e carboidrases na alimentação de aves: Revisão. Pubvet, 13(10): 1-  
738 14, <https://doi.org/10.31533/pubvet.v13n10a424.1-14>
- 739 Pereira, AA; Ferreira, DA; Júnior, DNG; Lima, CB; de Moura, AS; de Lima Júnior, DM.  
740 2016. Raspa da mandioca para codornas em postura. Acta Veterinaria Brasilica, 10(2),  
741 123-129,

- 742 Pereira, JT. 2023. Avaliação química e efeitos da farinha de ora-pro-nóbis (*Pereskia*  
743 *aculeata*) em ratos submetidos a dieta hiperlipídica. 2023. Dissertação (Mestrado em  
744 Ciências da Nutrição) – Programa de Pós-Graduação em Ciências da Nutrição,  
745 Universidade Federal dos Vales do Jequitinhonha e Mucuri, Diamantina, 48p.
- 746 Pinto, NDCC; Cassini-Vieira, P; de Souza-Fagundes, EM; Barcelos, LS; Castañon,  
747 MCMN; Scio, E. 2016. *Pereskia aculeata* Miller leaves accelerate excisional wound  
748 healing in mice. Journal of Ethnopharmacology, 194, 131-136.  
749 <https://doi.org/10.1016/j.jep.2016.09.005>
- 750 Pinto, NDCC; Duque, APDN; Pacheco, NR; Mendes, RDF; Motta, EVDS; Bellozi, PMQ;  
751 Scio, E. 2015. *Pereskia aculeata*: A plant food with antinociceptive activity.  
752 Pharmaceutical biology, 53(12), 1780-1785.  
753 <https://doi.org/10.3109/13880209.2015.1008144>
- 754 Pinto, R; Donzele, JL; Ferreira, AS; Albino, LFT; Soares, RDTRN; Silva, MDA; Pereira,  
755 TA. 2003. Exigência de metionina mais cistina para codornas japonesas em postura.  
756 Revista Brasileira de Zootecnia, v. 32, p. 1166-1173, <https://doi.org/10.1590/S1516-35982003000500017>
- 758 Pinto, R; Ferreira, AS; Donzele, JL; Silva, MDA; Soares, RDTRN; Custódio, GS; Pena,  
759 KDS. 2003. Exigência de lisina para codornas japonesas em postura. Revista brasileira  
760 de Zootecnia, 32, 1182-1189, <https://doi.org/10.1590/S1516-35982003000500019>
- 761 Pizzolante, CC; Saldanha, ESPB; Garcia, EA; de Pádua Deodato, A; Scatolini, AM;  
762 Boiago, MM; Dias, FE. 2006. Níveis de sal comum em rações de codornas japonesas  
763 (*Coturnix coturnix japonica*) em final de produção. Ciência Animal Brasileira, v. 7, n. 2,  
764 p. 123-130.
- 765 Prado, AWS; Zica, AR; Nascimento, JGD; Passos, PIB. 2021. Criação de codornas para  
766 corte. Coleção n. 1. Emater. Brasília-DF.
- 767 Prates, JVS; Braga, YC; Pereira, DD; da Costa, DV. 2023. Proteína de inseto na  
768 alimentação de codornas japonesas: uma revisão. Research, Society and Development,  
769 12(1), e21212139386-e21212139386, <https://doi.org/10.33448/rsd-v12i1.39386>

- 770 Puma Vega, CF; Kemmelmeier, K; Rufini, M; Soares de Carvalho, T; de Souza Moreira,  
771 FM. 2020. Ora-pro-nobis (*Moinho Pereskia aculeata*) Nutrição relacionada a atributos  
772 químicos e físicos do solo e microrganismos promotores do crescimento vegetal. Revista  
773 de Ciência do Solo e Nutrição Vegetal, Lavras, v. 20, n. 4. p. 1637-1654.  
774 <https://doi.org/10.1007/s42729-020-00235-9>
- 775 Retcheski, MC; Escorsin, KJS; dos Santos Oro, AL; Romão, S; Cazarolli, LH. 2021.  
776 ORA-PRO-NOBIS (*Pereskia aculeata*) –AVALIAÇÃO DO POTENCIAL DE USO  
777 COMO ADITIVO NA DIETA DE TILÁPIAS DO NILO. JORNADA DE INICIAÇÃO  
778 CIENTÍFICA E TECNOLÓGICA, v. 1, n. 11, Universidade Federal da Fronteira do Sul,  
779 Chapecó, SC.
- 780 Ribeiro, MLG; Silva, JHV; Dantas, MO; Costa, FGP; Oliveira, SF; Jordão Filho, J; Silva,  
781 EL. Exigências Nutricionais de Lisina para Codornas durante a Fase de Postura, em  
782 Função do Nível de Proteína da Ração. 2003. Revista Brasileira de Zootecnia, Viçosa, v.  
783 1, n. 32, p.156-161, <https://doi.org/10.1590/S1516-35982003000100020>
- 784 Ribeiro, MLG; Silva, JHVD; Dantas, MDO; Costa, FGP; Oliveira, SFD; Jordão Filho,  
785 J; Silva, ELD. 2003. Exigências nutricionais de lisina para codornas durante a fase de  
786 postura, em função do nível de proteína da ração. Revista Brasileira de Zootecnia, 32,  
787 156-161, <https://doi.org/10.1590/S1516-35982003000100020>
- 788 Rocha, DDC; Pereira Júnior, GA; Vieira, G; Pantoja, L; Santos, AD; Pinto, NAVD. 2009.  
789 Macarrão adicionado de ora-pro-nóbis (*Pereskia aculeata* Miller) desidratado. Alimentos  
790 e Nutrição, Araraquara, v. 19, n. 4, p. 459-465.
- 791 Rodrigues, S; Marinelli, PS; Otoboni, A; Tanaka, AY; Oliveira, AS. 2015. Caracterização  
792 química e nutricional da farinha de ora-pro-nóbis (*Pereskia aculeata* Mill.). Revista  
793 Científica Eletrônica de Ciência Aplicadas da FAEF. ISSN 1677-0293.
- 794 Rodrigues, TPPM; Grieser, DDO; Pozza, PC; Stanquevis, CE; Finco, EM; Benites, MI;  
795 Marcato, SM. 2023. Exigência de metionina+ cistina digestível para codornas japonesas  
796 em fase de postura. Ciência Animal Brasileira, v. 24, <https://doi.org/10.1590/1809-6891v24e-72583P>

- 798 Rostagno, HS; Albino, LFT; Hannas, MI; Donzele, JL; Sakomura, NK; Perazzo, FG;  
799 Saraiva, A; Teixeira, ML; Rodrigues, PB; Oliveira, RF; Barreto, SLT; Brito, CO. 2017.  
800 Tabelas brasileiras para aves e suínos. Composição de alimentos e exigências  
801 nutricionais, 4<sup>a</sup> ed. Universidade Federal de Viçosa. Viçosa-MG.
- 802 Rumão, JDAS; Brito, DAP; Reinehr, CO; Conceição, AO; Frazão, RM. 2020. Ocorrência  
803 de *Salmonella* spp. E de microrganismos indicadores de qualidade em ovos  
804 comercializados na Região Metropolitana de São Luís, Maranhão. Research, Society and  
805 Development, v.9, n.8. <https://doi.org/10.33448/rsd-v9i8.6175>
- 806 Santos, HO. 2018. Atualização do Impacto do Consumo de Ovos de Galinha Inteiros no  
807 Perfil Lipídico: Até que Ponto são Impactantes?. Arquivos Brasileiros de Cardiologia, v.  
808 110, p. 585-587. <https://doi.org/10.5935/abc.20180092>
- 809 Santos, JS; Maciel, LG; Seixa, VNC; Araújo, JA. 2016. Parâmetros avaliativos da qua-  
810 lidade física de ovos de codornas (*Coturnix coturnix japonica*) em função das  
811 características de armazenamento. Revista Desafios, v. 03, n. 01.  
812 <https://doi.org/10.20873/uft.2359-3652.2016v3n1p54>
- 813 Santos, LS; Queiroz, CRAA; Andrade, RR; Melo, CMT. 2015. Chemical analisys of  
814 leaves from cactus gennus *Pereskia*. Revista Agrarian v.8, n.30, p.343-350.
- 815 Santos, MAT. dos. 2006. Efeito do cozimento sobre alguns fatores antinutricionais em  
816 folhas de brócolis, couve-flor e couve. Ciência e Agrotecnologia, Lavras, v. 30, n. 2, p.  
817 294-301, <https://doi.org/10.1590/S1413-70542006000200015>
- 818 Santos, MDSVD; Espíndola, GB; Lôbo, RNB; Freitas, ER; Guerra, JLL; Santos, ABE.  
819 2009. Efeito da temperatura e estocagem em ovos. Food Science and Technology, v. 29,  
820 p. 513-517. <https://doi.org/10.1590/S0101-20612009000300009>
- 821 Santos, SJA; Estrela, JWM; Alves, ALD; Dantas, ACP; Galdino, JS. 2018. Criação de  
822 galinha capoeira com alimentos alternativos por agricultores familiares no município de  
823 Picuí - Paraíba. In: X CONGRESSO BRASILEIRO DE AGROECOLOGIA, 10., 2017,  
824 Brasília. Anais X Congresso Brasileiro de Agroecologia. Brasília: Aba, p. 1-6.

- 825 Sartori, VC; Theodoro, H; Minello, LV; Pansera, MR; Basso, A; Scur, L. 2020. Plantas  
826 Alimentícias Não Convencionais – PANC: resgatando a soberania alimentar e  
827 nutricional. Universidade de Caxias do Sul. Educs, Caxias do Sul-RS.
- 828 Savory, CJ; Gentle, MJ. 1976. Effects of dietary dilution with fibre on the food intake and  
829 gut dimensions of Japanese quail. British Poultry Science, 17(6), pp.561-570.  
830 <https://doi.org/10.1080/00071667608416314>
- 831 Seibel, NF; Schoffen, DB; Queiroz, MI; Souza-Soares, LAD. 2010. Caracterização  
832 sensorial de ovos de codornas alimentadas com dietas modificadas. Food Science and  
833 Technology, v. 30, p. 884-889, <https://doi.org/10.1590/S0101-20612010000400008>
- 834 Silva, AF; Sgavioli, S; Domingues, CHF; Garcia, RG. 2018. Coturnicultura como  
835 alternativa para aumento de renda do pequeno produtor. Arquivo Brasileiro de Medicina  
836 Veterinária e Zootecnia, v. 70, p. 913-920. <https://doi.org/10.1590/1678-4162-10065>
- 837 Silva, APGD; Spricigo, PC; Freitas, TPD; Alcioly, TMDS; Aencar, SMD; Jacomino, AP.  
838 2018. Ripe Ora-pro-nobis (*Pereskia aculeata miller*) fruits express high contents of  
839 bioactive compounds and antioxidant capacity. Revista Brasileira de Fruticultura, v. 40,  
840 n. 3. <https://doi.org/10.1590/0100-29452018749>
- 841 Silva, DO; Seifert, M; Nora, FR; Bobrowski, VL; Freitag, RA; Kucera, HR; Gaikwad,  
842 NW. 2017. Acute toxicity and cytotoxicity of *Pereskia aculeata*, a highly nutritious  
843 cactaceae plant. Journal of Medicinal Food, v. 20, n. 4, p. 403-409.  
844 <https://doi.org/10.1089/jmf.2016.0133>
- 845 Silva, DO; Seifert, M; Nora, FR; Bobrowski, VL; Freitag, RA; Kucera, HR; Gaikwad,  
846 NW. 2017. Acute toxicity and cytotoxicity of *Pereskia aculeata*, a highly nutritious  
847 cactaceae plant. Journal of Medicinal Food, v. 20, n. 4, p. 403-409.  
848 <https://doi.org/10.1089/jmf.2016.0133>
- 849 Silva, J H.V; Jordão Filho, J; Costa, FGP; Lacerda, PB; Vargas, DGV; Lima, MR. 2012.  
850 Exigências nutricionais de codornas. Revista Brasileira de Saúde e Produção Animal,  
851 [s.l.], v. 13, n. 3, p.775-790, <http://dx.doi.org/10.1590/s1519-99402012000300016>

- 852 Silva, JHV; Costa, FGP 2009. Tabelas para codornas japonesas e europeias: tópicos  
853 especiais, composição de alimentos e critérios nutricionais. 2.ed. Jaboticabal: FUNEP,  
854 107p.
- 855 Silva, JHV; Jordão Filho, J; Costa, FGP; Lacerda, PBD; Vargas, DGV; Lima, MR. 2012.  
856 Exigências nutricionais de codornas. Revista Brasileira de Saúde e Produção Animal, v.  
857 13, p. 775-790. ISSN 1519-9940.
- 858 Silva, JHV; Silva, MB; Jordão Filho, J; Silva, EL; Andrade, IS; Melo, DA; Ribeiro, MLG;  
859 Rocha, MRF; Costa, FGP; Dutra Junior, WM. 2004. Exigência de manutenção e ganho de  
860 proteína e de energia em codornas japonesas (*Coturnix coturnix japonica*) na fase de 15  
861 a 32 dias. Revista Brasileira de Zootecnia, v.33, n.5, p.1220-1230, 2004.  
862 <https://doi.org/10.1590/S1516-35982004000500014>
- 863 Silva, JHVD; Silva, ELD; Ribeiro, MLG; Costa, FGP; Rodrigues, PB. 2006. Exigência  
864 de lisina para poedeiras semipesadas durante o pico de postura. Revista Brasileira de  
865 Zootecnia, v.35, (supl.), p.1728-1734, <https://doi.org/10.1590/S1516-35982006000600021>
- 867 Silva, JHVD; Silva, MBD; Silva, ELD; Jordão Filho, J; Ribeiro, MLG; Costa, FGP; Dutra  
868 Júnior, WM. 2003. Energia metabolizável de ingredientes determinada com codornas  
869 japonesas (*Coturnix coturnix japonica*). Revista Brasileira de Zootecnia, 32, 1912-1918.  
870 <https://doi.org/10.1590/S1516-35982003000800015>
- 871 Silva, LW. 2019. Potencial tecnológico da folha da *Pereskia aculeata* Miller (ora-pro-  
872 nóbis): Uma Revisão. 2019. Trabalho de Conclusão de Curso (Engenharia de Alimentos).  
873 Universidade Federal de Santa Catarina, Florianópolis-SC.
- 874 Soares, LC; De Castro, AB; Martins, MV. 2022. Potencial antioxidante e valor nutricional  
875 das folhas da ora-pro-nóbis (*Pereskia aculeata* Miller): um estudo de revisão Antioxidant  
876 potential and nutritional value of ora-pro-nobis leaves (*Pereskia aculeata* Miller): a review  
877 study. Brazilian Journal of Development, v. 8, n. 1, p. 6649-6659,  
878 <DOI:10.34117/bjdv8n1-450>.

- 879 Soares, MB; Fuentes, MFF; Freitas, ER; Lopes, IRV; Moreira, RF; Sucupira, FS Braz, N  
880 M; Lima, RC. 2007. Farelo da amêndoia da castanha de caju na alimentação de codornas  
881 japonesas na fase de postura. Revista Brasileira de Zootecnia, 36(4): 1076-1082,  
882 <https://doi.org/10.1590/S1516-35982007000500013>
- 883 Souza, MRDM; Pereira, PRG; Pereira, RGF; Barbosa, IDP; Baracat-Pereira, MC. 2020.  
884 Protein yield and mineral contents in *Pereskia aculeata* under high-density planting  
885 system. Pesquisa Agropecuária Tropical, v. 50. <https://doi.org/10.1590/1983-40632020v5062365>
- 887 Souza, RI; Radis, AC; Barbosa, JF. 2020. Substituição do Farelo de Trigo por Farelo de  
888 Ora-Pro-Nobis (*Pereskia aculeata*) em dietas para frango de corte. Cadernos de  
889 Agroecologia, 15(2). Anais do XI Congresso Brasileiro de Agroecologia, São Cristóvão,  
890 SE.
- 891 Souza-Soares, LA; Siewerdt, F. 2005. Aves e ovos. Pelotas: Ed. da Universidade Federal  
892 de Pelotas, 138 p., Pelotas-RS.
- 893 Strong, TR; Reimer, PR; Braun, EJ. 1990. Morphometry of the galliform cecum: A  
894 comparison between Gambel's quail and the domestic fowl. Cell and tissue research, 259,  
895 pp.511-518. <https://doi.org/10.1007/BF01740778>
- 896 Tabela Brasileira de Composição de Alimentos (TBCA). 2023. Food Research Center  
897 (FoRC). Versão 7.2. Universidade de São Paulo, São Paulo-SP. Disponível em:  
898 <http://www.fcf.usp.br/tbca>.
- 899 Takeiti, CY; Antonio, GC; Motta, EM; Collares-Queiroz, FP; Park, KJ. 2009. Nutritive  
900 evaluation of a non-conventional leafy vegetable (*Pereskia aculeata* Miller). International  
901 Journal of Food Sciences and Nutrition, v. 60, n. sup1, p. 148-160.  
902 <https://doi.org/10.1080/09637480802534509>
- 903 Telles, CC; Matos, JDM; Madeira, NR; de Mendonca, JL; Botrel, N; Junqueira, AMR;  
904 da Silva, DB. 2016. *Pereskia aculeata*: ora-pro-nobis. In: Vieira R.F.; Camillo J.; Coradin  
905 L. (Ed.). Espécies nativas da flora brasileira de valor econômico atual ou potencial:

- 906 plantas para o futuro: Região Centro-Oeste. Ministério do Meio Ambiente (Série  
907 Biodiversidade; 44). p.280-289, Brasília, DF.
- 908 Toffaneli, MBD; Resende, SG. 2011. Sistemas de condução na produção de folhas de  
909 ora-pro-nobis. Pesquisa Agropecuária Tropical, v. 41, p. 466-469.  
910 <https://doi.org/10.5216/pat.v41i3.12497>
- 911 Venter, N; Cowie, BW; Paterson, ID; Witkowski, ET; Byrne, MJ. 2022. The interactive  
912 effects of CO<sub>2</sub> and water on the growth and physiology of the invasive alien vine *Pereskia*  
913 *aculeata* (Cactaceae): implications for its future invasion and management.  
914 Environmental and Experimental Botany, 194, 104737.  
915 <https://doi.org/10.1016/j.envexpbot.2021.104737>
- 916 Vieira, JS; Megguer, CA. 2017. PROPAGAÇÃO VEGETATIVA, CRESCIMENTO E  
917 TEOR DA PROTEÍNA EM ORA-PRO-NÓBIS (*Pereskia aculeata* Miller) CULTIVADO  
918 SOB TELAS FOTOSSELETIVAS. Dissertação (M.S.c.). Instituto Federal de Educação  
919 Ciência e Tecnologia Goiano. Morrinhos-GO.
- 920 Villela, JL. 1998. Criação de codornas. Serviço Brasileiro de Apoio às Micro e Pequenas  
921 Empresas (SEBRAE). 91p. Coleção Agroindústria, v. 14. 91p, Cuiabá-MT.
- 922 Viola, T; Viola, E; Sobreira, RDS; de Araújo, AM. 2018. Perguntas e respostas sobre  
923 criação de galinhas e codornas na agricultura familiar do Meio-Norte. ISSN O104-866X.
- 924 Wobeto, C; Corrêa, AD; Abreu, CMPD; Santos, CDD; Pereira, HV. 2007. Antinutrients  
925 in the cassava (*Manihot esculenta* Crantz) leaf powder at three ages of the plant. Food Sci  
926 Technol, Campinas, v. 27, n. 1, p. 108-12, [https://doi.org/10.1590/S0101-  
927 20612007000100019](https://doi.org/10.1590/S0101-20612007000100019)

### 3. CAPÍTULO I – POTENCIAL DA FARINHA DAS FOLHAS DE ORA-PRO-NÓBIS PARA USO NA DIETA DE CODORNAS JAPONESAS EM POSTURA

#### 928 RESUMO

929 A pesquisa objetivou quantificar os teores bromatológicos da farinha das folhas de ora-  
930 pro-nóbis, como alternativa alimentar de codornas japonesas em postura. Foi implantada  
931 uma área de 300m<sup>2</sup> com a espécie *Pereskia aculeata*, no Instituto Federal de Educação,  
932 Ciência e Tecnologia do Maranhão, na cidade de Caxias-MA. Para a realização das  
933 análises bromatológicas, foi realizada uma amostragem aleatória de 1,0 quilograma de  
934 folhas de plantas totalmente desenvolvidas, em toda a área experimental. Em seguida,  
935 foram lavadas em água corrente e higienizadas em água clora a 1ppm, levadas à estufa de  
936 circulação de ar a 65 °C por 72 horas. Após a desidratação total, foram moídas em moinho  
937 elétrico tipo Willey com peneira de 2mm para obtenção da farinha. A determinação da  
938 composição bromatológica foi realizada em triplicata, de acordo com método de Wendee  
939 (Henneberg, 1984). Foram obtidos os seguintes teores bromatológicos: 93,4% de matéria  
940 seca, 21,3% de proteína, 16,30% de material mineral, 5,05% de extrato etéreo, 13,2%  
941 fibra bruta, 40,91% de fibra em detergente neutro, 12,55% de fibra em detergente ácido,  
942 e 44,15% de extrativo não nitrogenado. Os resultados obtidos indicam que a ora-pro-  
943 nóbis apresenta um perfil nutricional relevante, e que pode utilizado como um alimento  
944 alternativo para uso nas rações destinadas à criação de codornas japonesas em fase de  
945 postura.

946 **Palavras-chave:** Alimento Alternativo; Bromatologia; Coturnicultura; *Pereskia*  
947 *aculeata*.

948     **3.1. Introdução**

949         A criação de codornas de postura é uma atividade que tem crescido bastante no  
 950 Brasil nos últimos anos, em razão da facilidade de criação, manejo, boa relação custo  
 951 benefício, precocidade produtiva, alta taxa de postura e baixo consumo de alimentos  
 952 (Ferronato et al., 2020). Contudo, o principal desafio da crescente demanda de produção,  
 953 diz respeito a escassez de informações sobre o manejo alimentar e nutricional dessas aves,  
 954 que muitas vezes, tem sido baseado na experiência dos criadores (Muniz et al., 2018).

955         Em virtude disso, alguns aspectos devem ser levados em consideração como a  
 956 qualidade da raça, a quantidade que deve ser fornecida e os custos, o que reflete a  
 957 eficiência alimentar das aves (Matthews; Sumner, 2014). Logo, a procura por alimentos  
 958 mais eficientes e econômicos para serem utilizados na alimentação animal é constante e,  
 959 dentre os alimentos para animais domésticos, os proteicos são os de custos mais elevados  
 960 uma vez que a maioria concorre com a alimentação humana (Leira et al., 2018).

961         Um alimento alternativo que tem sido bastante pesquisado, devido sua ótima  
 962 composição nutricional, é a ora-pro-nóbis (*Pereskia aculeata* Mill), uma planta  
 963 alimentícia não convencional (PANC) versátil da família Cactaceae, com alto teor de  
 964 proteínas, vitaminas, minerais, fibras e hemicelulose, importantes para a nutrição humana  
 965 e animal (da Silva e Damiani, 2022).

966         Suas folhas e caule são usados em várias receitas culinárias, no preparo de farinhas  
 967 multiplas, complemento nutricional no combate à desnutrição (Martin et al., 2017). Na  
 968 alimentação animal, é uma alternativa que pode melhorar os índices produtivos, em  
 969 virtude de suas características nutritivas e ausência de toxicidade, principalmente os altos  
 970 teores de proteínas e lipídios nas folhas, estimados entre 17,4 e 25,4% e 1,6 a 5,6%,  
 971 respectivamente (Almeida Filho e Cambraia, 1974; de Andrade et al., 2011).

972         Em razão das diferentes condições edafoclimáticas existentes no Brasil, e formas  
 973 de cultivo da planta, tem sido relatado diversos resultados divergentes de sua composição  
 974 nutricional (Gonçalves et al., 2014). Dessa forma, o objetivo da pesquisa foi quantificar  
 975 os teores bromatológicos de ora-pro-nóbis, como alternativa alimentar de codornas  
 976 japonesas em postura.

977     **3.2. Material e métodos**

978         A pesquisa foi realizada no Instituto Federal do Maranhão, localizado na  
 979 mesorregião do Leste Maranhense, em Caxias-MA. O clima da região segundo Koppen

980 é do tipo subúmido seco, com temperatura média anual de 27°C, e precipitação  
 981 pluviométrica entre 1600 a 2000 milímetros.

982 3.2.1. Área de cultivo.

983 A área foi formada por 300 plantas, cultivadas com espaçamento de 1,0 x 1,0m,  
 984 conduzidas sob manejo de poda e tutorada, e sem adição de agroquímicos. As mudas  
 985 foram produzidas a partir de planta matriz saudável existente, e replicadas em estacas de  
 986 20cm, plantadas em sacos de polietileno de 2kg, contendo substrato na proporção de 50%  
 987 de terra preta vegetal e 50% de húmus de minhocas.

988 O transplantio das mudas para a área definitiva foi realizado no dia 15 de  
 989 dezembro de 2022. O solo da área é do tipo areno-argiloso, com composição química  
 990 determinada previamente em laboratório, onde os resultados análise de caracterização  
 991 fisico-química estão descritos na figura 3. Foram realizadas 02 (duas) podas de formação,  
 992 sendo a primeira 60 dias após o transplantio e segunda, aos 120 dias.

Figura 2. Resultados da análise de solo da área de plantio

RESULTADOS DE ANÁLISE DE SOLO													
Cliente: José Flávio Ferreira de Sousa					Data Entrada: 13/05/2022								
Local: IFMA CAMPUS CAXIAS					Data Saída: 25/07/2022								
Município: Caxias - MA					Cultura remanescente: Pastagem								
CPF: 051.952.913-81					SA: 77_2023								
Telefone de contato: (99) 98823-8226													
e-mail: <a href="mailto:jose.ferreira@ifma.edu.br">jose.ferreira@ifma.edu.br</a>													
Nº Lab.	Identificação da Amostra	pH	pH	H+Al	Al	Ca	Mg	K	SB	T	P	K	S
		H <sub>2</sub> O	CaCl <sub>2</sub>			cmol <sub>c</sub> dm <sup>-3</sup>						mg dm <sup>-3</sup>	
1116	AMER02	5,97	-	1,07	0,00	1,80	0,80	0,06	2,66	3,74	17,3	25	-
Nº Lab.	Identificação da Amostra	Na	Micronutrientes					V	m	M.O.	Areia	Silte	Argila
			B	Cu	Mn	Fe	Zn	mg dm <sup>-3</sup>	%	%	g/kg	g/kg	g/kg
1116	AMER02						71,3	0,0	8,07	41	38	21	
P, Na, K, Cu, Fe, Mn e Zn - Extrador Mehlich1; Ca, Mg e Al - Extrator KCl - 1 mol/L; H + Al - Extrator Acetato de Cálcio a pH 7,0; Mat. Org. (MO) - método Walkley-Black; Enxofre (S) - Ca (H <sub>2</sub> PO <sub>4</sub> ) <sub>2</sub> ; Boro (B) - Água quente; SB = Soma de Bases Trocáveis; CTC (t) - Capacidade de Troca Catiônica Efectiva; CTC (T) - Capacidade de Troca Catiônica a pH 7,0; V = Índice de Saturação de Bases; m = Índice de Saturação de Alumínio. O laboratório de análises de solos do CPCE/UFPI não se responsabiliza pela coleta das amostras.													

Fonte: UFPI, (2022).

993 3.2.2. Obtenção da farinha de folhas de *P. aculeata* para análises.

994 Para a realização das análises, foi realizada uma amostragem aleatória de 1  
 995 quilograma de folhas, às 08h00min em toda a área, colhidas do terço médio de plantas  
 996 totalmente desenvolvidas, com 5 meses de idade, que foram armazenadas em sacos  
 997 transparentes identificados, e em seguida levada ao laboratório de Bromatologia do IFMA  
 998 Campus Caxias, para demais etapas de análises.

999 Para a obtenção da farinha, as folhas foram lavadas em água corrente para eliminar  
1000 detritos e sujidades, higienizadas em água clorada a 1ppm, armazenadas em bandejas de  
1001 alumínio e levadas à estufa de circulação forçada de ar à temperatura de 65°C durante 72  
1002 horas (Figura 3A). Em seguida foram trituradas em moinho elétrico tipo Willey, em  
1003 peneira com furo de 0,002mm (Figura 3B).

1004 Após essa etapa, a farinha foi armazenada em saco plástico transparente  
1005 higienizado, identificado e armazenado à temperatura ambiente, para posterior realização  
1006 das análises.

Figura 3. Folhas de OPN em preparação para secagem (A), e farinha produzida após  
moagem (B).



Fonte: Sousa et al. (2023).

### 1007 3.2.3. Determinação da composição bromatológica.

1008 A quantificação da composição bromatológica foi realizada, em triplicata, de  
1009 acordo o método de Wendee proposto por Henneberg (1859), onde forma quantificados  
1010 os teores de Matéria Seca Total (MST), Material Mineral (MM), Fibra Bruta (FB), com  
1011 a adição de análise de Fibra em Detergente Neutro (FDN) e Fibra em Detergente Ácido  
1012 (FDA), Extrato Etéreo (EE), Proteína Bruta (PB) e Extrativo Não Nitrogenado (ENN).

- 1013 • Matéria seca total (MST).

1014 A Matéria Seca Total da farinha das folhas de ora-pro-nóbis foi determinada  
1015 através da desidratação da amostra em estufa à temperatura de 105 °C por 24 h00min,  
1016 para obtenção de um produto com peso constante e isento de umidade.

- 1017 • Matéria Mineral (MM).

1018 Determinou-se por meio da calcinação de 2,0g da amostra em mufla, a 600°C por  
1019 4h00min, para a completa combustão da matéria orgânica. Completado o tempo, a  
1020 amostra foi resfriada em dessecador, e pesada em seguida para a medição da diferença da  
1021 massa inicial e final e assim determinar a porcentagem de matéria inorgânica.

1022 • Proteína Bruta (PB).

1023 Para a determinação de PB (%), utilizou-se a metodologia de Kjeldahl (1983).  
1024 Esse método baseia-se em três etapas distintas: digestão, destilação e titulação. Primeiro,  
1025 preparou-se a mistura de digestão ( $0,2\text{g } K_2O_4 + 0,02\text{g } CuSO_4$ ). Em seguida, adicionou-  
1026 se em tubos de ensaios 2,0g da amostra, juntamente com 2,0g da mistura de digestão  
1027 anteriormente preparada.

1028 No mesmo tubo, adicionou-se 5mL de ácido sulfúrico. Em seguida o material foi  
1029 levado para o bloco digestor, a temperatura de 350°C, por 3h00min. Aguardou-se esfriar  
1030 até 50°C, e adicionou-se 10mL de água destilada. Em sequência, os tubos de ensaios  
1031 foram levados a um destilador de nitrogênio tipo Kjeldahl, no qual foram acrescentados  
1032 20mL de ácido bórico ( $H_2BO_3$  2%) e 25mL de hidróxido de sódio (NaOH 50%).

1033 Na etapa de titulação, utilizou-se ácido clorídrico (HCl 0,1N). Com os volumes  
1034 de HCl utilizados para cada amostra na titulação, determinou-se, por meio da equação 1  
1035 a seguir, a quantidade de proteína bruta:

$$1036 PB(\%) = \left[ \frac{Volume\ ml\ HCl\ (branco)*fator*Norm.\ ácido*0,014}{peso\ da\ amostra\ corrigido} \right] * 6,25 * 100 [1]$$

1037 Obteve-se 2,3ml como valor médio do volume de HCl gasto na titulação amostra,  
1038 e utilizou-se o valor de 1,002 para o fator de correção e 0,05 para normalidade do ácido  
1039 bórico.

1040 • Extrato Etéreo (EE).

1041 A determinação do teor de extrato etéreo, foi feita em aparelho Goldfisch, dividida  
1042 em três etapas: extração, remoção e pesagem. Na primeira etapa foi realizada a extração  
1043 da porção apolar por refluxo contínuo de um solvente orgânico (Éter petróleo P.A). Para  
1044 isso, foram pesados 2g de amostra, acondicionados em um cartucho de celulose.

1045 Os cartuchos foram introduzidos em rebolier de extração de gordura e levados à  
1046 estufa não ventilada, por 2 h, a 105 °C. Após esse processo, os mesmos foram levados ao  
1047 aparelho extrator de gordura do tipo Goldfisch. Nessa etapa, foram adicionadas 100mL  
1048 de éter petróleo em cada rebolier, por um período de 4h00min. Em seguida, o solvente  
1049 foi removido por reciclagem do solvente até a sua precipitação no fundo do rebolier.

1050           Na etapa seguinte, os rebolier retornaram à estufa não ventilada a 105 °C, por mais  
1051           30 min, até que todo o éter restante evaporasse. Posteriormente, o material foi levado ao  
1052           dessecador e pesado novamente através da diferença do último peso do rebolier.

- 1053           • Fibra em Detergente Neutro (FDN) e em Detergente Ácido (FDA).

1054           A FDN E FDA foi realizada pelo método do Autoclave. Inicialmente, foram  
1055           confeccionados saquinhos de Tecido Não Tecido, com dimensões de 5x4m, secos em  
1056           estufa a 105°C por 2h00min. Em seguida, pesou-se 0,5g da amostra para cada um, e  
1057           adicionado ao coletor plástico com 50ml da solução de detergente neutro para FDN,  
1058           0,02ml de  $\alpha$ -amilase e solução ácida, para FDA.

1059           Em condições de aquecimento e agitação, os saquinhos contendo o material  
1060           analisado foram submetidos à fervura por uma hora a temperatura de 105°C, enxaguados  
1061           em seguida em água destilada morna e acetona, submetidos a secagem em estufa e  
1062           posteriormente submetidos a pesagem.

- 1063           • Fibra bruta (FB).

1064           A Fibra bruta foi determinada pela digestão ácida e básica catalisada pelo calor,  
1065           pelo método do Autoclave. Foram confeccionados saquinhos de Tecido Não Tecido, com  
1066           dimensões de 5x4m, secos em estufa a 105°C por 2h00min. Na primeira etapa, pesou-se  
1067           1,0g da amostra em cada saquinho, adicionado ao coletor plástico com 50ml de ácido  
1068           sulfúrico ( $H_2SO_4$ ), e 50ml de hidróxido de sódio (NaOH 50%).

1069           Em condições de aquecimento e agitação, os *coletores + saquinhos + soluções* foram submetidos à fervura por uma hora a temperatura de 105°C, enxaguados  
1070           em seguida em água destilada morna e acetona, submetidos a secagem em estufa e  
1071           posteriormente submetidos a pesagem.

- 1073           • Extrativo não nitrogenado (ENN).

1074           A composição da porção extrativa não nitrogenada, foi obtida subtraindo-se de  
1075           100 a soma de PB, FB, EE e MM (expressos em porcentagem de MS), através da equação  
1076           2.

$$ENN = 100 - (PB + FB + EE + MM) [2]$$

1077           Em que: PB = Proteína bruta, FB = Fibra bruta, EE = Extrato etéreo e MM = Material  
1078           Mineral.

1080 **3.3. Resultados**

1081 A ora-pro-nóbis apresentou bom desenvolvimento vegetativo e taxa de brotação,  
 1082 cultivada e manejada com uso de tutores e poda, nas condições edafoclimáticas de Caxias-  
 1083 MA (Figura 4A e B). O manejo adotado permitiu uma melhor condução dos ramos  
 1084 vegetativos, facilitou o controle de ervas daninhas e a colheita das folhas (Figura 4B).

1085 Figura 4. Área cultivada com ora-pro-nóbis em Caxias-MA.



1086

Fonte: Sousa et al. (2023).

1087 Após a realização das análises, obteve-se um 93,4% de matéria de seca nas folhas,  
 1088 e com base nesse valor, foram encontrados os teores dos componentes bromatológicos,  
 1089 que estão expressos de forma descritiva na Tabela 3.

Tabela 3. Teor bromatológico da FOPN cultivada nas condições edafoclimáticas de  
 Caxias-MA.

Variável	Teor (%)
Matéria Seca Total (MST)	93,4
Proteína Bruta (PB)	21,3
Material Mineral (MM)	16,3
Extrato Etéreo (EE)	5,05
Fibra Bruta (FB)	13,20
Fibra em Detergente Neutro (FDN)	40,91
Fibra em Detergente Ácido (FDA)	12,55
Extrativo Não Nitrogenado (ENN)	44,15

1090 **3.4. Discussão**

1091 Os resultados obtidos mostraram-se bem próximos dos encontrados na literatura.  
1092 A variável matéria seca apresentou o valor de 93,4%, mostrando-se superior aos valores  
1093 encontrados por Vieira et al. (2017) e Cruz et al. (2020), que foram de 81,72% e 92,8%,  
1094 respectivamente, porém inferior ao relatado por Sommer et al. (2022), que obtiveram  
1095 95,28% de matéria seca da FOPN. Contudo, o valor encontrado no presente estudo é  
1096 superior a outros alimentos utilizados na ração animal, como a soja e milho, cujos valores  
1097 encontrados por Garcez et al. (2023) foram de 83,3 e 88,6%, respectivamente.

1098 A valor proteico encontrado (21,3%), mostra-se bem próximo ao relatado por  
1099 Almeida Filho e Cambraia (1974), Girão et al. (2003), Martinevsk et al. (2013) e  
1100 Gazzola, et al. (2018) que observaram um teor de 25, 20 e 20,10 e 23,9% de proteínas,  
1101 respectivamente, após caracterização química das folhas de ora-pro-nóbis. Já Gonçalves  
1102 et al. (2014) encontraram 28% de proteína nas folhas, 13% no caule e 14% no fruto.

1103 Resultado semelhante do teor de proteína foi encontrado por Martin et al. (2017),  
1104 quando avaliaram a mucilagem desidratada das folhas de ora-pro-nóbis e encontraram  
1105 valor de proteína de 19%. Corroborando, Lise (2021) encontrou maiores valores de  
1106 proteína em amostras liofilizadas e seca em estufa a 30 °C, cujos valores foram de  
1107 22,82g.100g<sup>-1</sup> e 19,79g.100g<sup>-1</sup>, respectivamente.

1108 O conteúdo proteico é caracterizado por ser uma fonte alternativa de proteína de  
1109 origem vegetal, com alta digestibilidade que pode chegar a 85%, segundo Mazia (2012),  
1110 isso ocorre devido a presença de aminoácidos essenciais, com destaque para a lisina,  
1111 leucina e valina, o que possibilita seu aproveitamento em diversas finalidades, dentre elas,  
1112 a alimentação de codornas de postura.

1113 O valor encontrado (21,3%) é próximo ao relatado por outros autores, e pode ser  
1114 um alimento alternativo que pode ser explorado na criação de codornas japonesas, uma  
1115 vez que, a faixa de consumo de proteína por essas aves é em torno de 18 a 22%, dentre as  
1116 fases de criação (Rostagno et al., 2017).

1117 Ferronato et al. (2020), enfatizam que é necessário a busca por fontes alternativas  
1118 que possam substituir total ou parcialmente os ingredientes convencionais da dieta  
1119 animal, e com criação de codornas também não é diferente, pois os ingredientes das  
1120 rações dessas aves, como o milho e a soja, pois por se tratarem de commodities, sofrem  
1121 constantemente oscilação de preços, elevando os custos de produção.

1122 A ora-pro-nóbis possui em suas folhas altos teores de aminoácidos, que participam  
1123 diretamente da síntese proteica. Takeiti et al. (2009) ao estudarem o perfil de aminoácidos  
1124 das folhas da ora-pro-nóbis encontraram  $2,67\text{g} \cdot 100\text{g}^{-1}$  de peso seco de ácido glutâmico,  
1125 principal aminoácido não essencial presente na OPN, isso equivale a 9,9% do conteúdo  
1126 total de aminoácidos. Em relação aos aminoácidos essenciais o mais abundante foi o  
1127 triptofano ( $5,52\text{ g}/100\text{ g}$  de matéria seca), contribuindo com 20,46% em relação ao  
1128 conteúdo total de aminoácidos.

1129 Almeida Filho e Cambraia (1974) e Albuquerque et al. (1991), relataram bons  
1130 teores de aminoácidos em OPN, com destaque para a arginina ( $1,44\text{g} \cdot 100\text{g}^{-1}$ ), histidina  
1131 ( $0,59\text{g} \cdot 100\text{g}^{-1}$ ), isoleucina ( $1,07\text{g} \cdot 100\text{g}^{-1}$ ), leucina ( $2,0\text{g} \cdot 100\text{g}^{-1}$ ), lisina ( $1,43\text{g} \cdot 100\text{g}^{-1}$ ),  
1132 metionina ( $0,23\text{g} \cdot 100\text{g}^{-1}$ ), fenilalanina ( $1,27\text{g} \cdot 100\text{g}^{-1}$ ), treonina ( $1,00\text{g} \cdot 100\text{g}^{-1}$ ) e valina  
1133 ( $1,23\text{g} \cdot 100\text{g}^{-1}$ ), o que eleva mais ainda o seu potencial para utilização na alimentação  
1134 animal, a exemplos das aves poedeiras, como as codornas japonesas.

1135 O teor de minerais (16,3%) foi inferior ao encontrado Gonçalves et al. (2014),  
1136 que foi de 22,43%. No entanto, este valor ainda é superior a outros alimentos utilizados  
1137 na alimentação animal, como o farelo de soja e torta de algodão, que contém cerca de 5 e  
1138 4,26%, respectivamente (Mendes et al., 2004; Cavalcante et al., 2014), o que evidencia o  
1139 potencial nutricional de *P. aculeata*, como fonte de minerais para uso na dieta de codornas  
1140 japonesas, uma vez que, desempenham funções essenciais relacionadas à manutenção da  
1141 vida, desempenho produtivo e formação físico-químicas do ovo.

1142 O extrato etéreo representa a porção gordurosa das amostras, e o valor obtido  
1143 (5,05%) é considerado relevante, quando comparado com fontes proteicas convencionais,  
1144 apresentando-se superior ao valor farelo de soja (1,45%), apresentado por Cavalcante, et  
1145 al. (2014), porém menor que outros alimentos como torta de algodão (6,75%) e tora de  
1146 babaçu (6,22). O valor obtido nessa pesquisa foi superior em 14,5% em relação ao valor  
1147 obtido no trabalho de Girão et al. (2008), que foi de 4,41%.

1148 Para Paim (2011), a utilização de fontes lipídicas nas dietas de aves, promove  
1149 aumento dos níveis energéticos e ajudam na absorção de nutrientes, o que contribui para  
1150 o bom desempenho animal. Apresentado por Rostagno et al. (2017), o nível indicado para  
1151 a inclusão fontes lipídicas nas dietas para aves é de 3%, tendo o nível máximo de 7%.  
1152 Para aves, as principais fontes de ácidos graxos que vêm sendo utilizadas são oriundas  
1153 dos óleos de soja, linhaça, girassol, peixe, milho e canola, além das gorduras de aves e

1154 suínos e do sebo bovino (Serpa, 2022). Portanto, o valor presente em OPN é considerado  
1155 adequado para a dieta de codornas.

1156 Para fibra bruta (FB), obteve-se o valor de 13,20%, próximo ao encontrado por  
1157 Queiroz (2012), (11,96%). No entanto, sabe-se que a análise de FB não é confiável por  
1158 subestimar o teor de fibras da amostra, e dessa forma apresenta pouca ou nenhuma  
1159 utilidade para a dieta de animais. Para uma visualização mais precisa dessa fração foi  
1160 obtido os valores de Fibra em Detergente Neutro (FDN) e Fibra em Detergente Ácido  
1161 (FDA) com 40,91% e 12,55%, respectivamente. Observa-se que o valor de FDN foi  
1162 superior ao encontrado por Vieira, et al. (2017), que foi de 36,43%.

1163 Para Braz et al. (2011), o nível de FDN na ração não influencia o  
1164 desenvolvimento do sistema reprodutor de poedeiras de 7 a 17 semanas, porém, mesmo  
1165 causando aumento do tamanho relativo dos intestinos, não afeta a maturidade sexual, o  
1166 desempenho e a qualidade dos ovos dessas aves na fase de produção, quando se fornece  
1167 até o nível de 18,5% de FND na ração.

1168 A nutrição de codornas japonesas é diferente das de frango e galinhas poedeiras,  
1169 como também diferem da dieta de codornas europeias, pois essas aves digerem melhor os  
1170 aminoácidos de alimentos fibrosos, sendo ainda menos exigentes em cálcio (Jordão Filho  
1171 et al., 2011ab). Dessa forma as rações formuladas para frangos e galinhas não devem ser  
1172 usadas na alimentação de codornas europeias e japonesas (Silva et al., 2012).

1173 Para Rostagno et al. (2017), as codornas japonesas em fase de postura exigem em  
1174 torno  $2.800\text{kcal} \cdot \text{kg}^{-1}$  de energia metabolizável, 19% de proteína, 3,158% de cálcio, 0,298  
1175 de fósforo digestível, 0,155 de sódio, 1,046% de ácido linoleico, 1,107 % de lisina,  
1176 0,908% de metionina+cisteína, 0,675 de treonina, 0,232% de triptofano, 1,273% de  
1177 arginina, 1,262% de glicina+serina, 0,830% de valina, 0,720% isoleucina, 1,661% de  
1178 leucina, ,465% de histidina e 1,494% de fenilalanina+tirosina.

1179 As codornas possuem maior tamanho relativo do ceco, quando comparado ao  
1180 das galinhas (Andújar; Navarro; Varela, 1977), isso favorece a capacidade de digestão de  
1181 alimentos fibrosos e maior energia metabolizável para esses alimentos. Além disso, a  
1182 superfície da mucosa mais desenvolvida, ajuda na absorção de fibras por esse órgão  
1183 (Strong; Reimer; Braun, 1990). De fato, codornas alimentadas com alto teor de fibra  
1184 apresentaram maior porcentagem de celulose digerida (Inman, 1973), resultante do

1185 aumento da taxa de proliferação celular e no tamanho do intestino ocorrido após ingestão  
1186 de dietas fibrosas (Savory; Gentle, 1976).

1187 Devido a esta importância, o valor encontrado de material mineral, além de ser  
1188 um bom indicativo para a utilização da ora-pro-nóbis na alimentação de codornas, pode  
1189 abrir espaço para a realização de análises mais aprofundadas a fim de identificar e  
1190 quantificar a presença de macro e microminerais nas folhas dessa planta, e assim mostrar  
1191 com maior detalhamento a sua composição mineral e consequentemente a aplicabilidade  
1192 desses elementos.

1193 Duarte et al. (2013) não observaram efeitos negativos sobre o desempenho  
1194 produtivo e qualidade de ovos e os níveis séricos de colesterol e triglicerídeo, de codornas  
1195 japonesas alimentadas com até 20% de ração, contendo casca de soja com percentual de  
1196 14,57% de proteína e 32,82% de fibra bruta. Isso demonstra que mesmo a OPN apresentar  
1197 valores de fibra bruta (40,91%), ligeiramente superior ao da casca de soja, é possível  
1198 considerá-la um alimento fibroso alternativo, que pode ser consumido pelas codornas  
1199 japonesas, sem afetar seu desempenho produtivo.

1200 O valor encontrado para extrativo não nitrogenado (ENN) foi de 44,15%, e é  
1201 considerado um bom indicativo de que o alimento é nutritivo e rico em elementos  
1202 responsáveis por fornecer energia ao organismo. Segundo Salman, et al. (2010) esta  
1203 fração representa “teoricamente” os carboidratos não estruturais e de mais fácil digestão,  
1204 como os açúcares, o amido e a pectina.

1205 O valor de carboidratos encontrado em OPN é semelhante aos presentes em outras  
1206 PANCs, como o presente em taioba ( $44,57 \pm 2,5$ ), e ligeiramente superior ao presente em  
1207 mostarda ( $39,46 \pm 3,43$ ) e em serralha ( $33,97 \pm 2,59$ ), segundo Borges et al. (2003), o que  
1208 demonstra seu potencial energético, e a possibilidade de ser utilizada não só na  
1209 alimentação humana, mas também na dieta animal.

### 1210 3.5. Conclusões

1211 A ora-pro-nóbis, cultivada nas condições edafoclimáticas de Caxias-MA,  
1212 apresentou valores bromatológicos, que permite sua utilização como ingrediente  
1213 alternativo, para uso na alimentação de codornas japonesas em postura.

1214 É, portanto, mais uma opção de alimento alternativo para criadores de codornas  
1215 japonesas, que visam baratear os custos com alimentação.

1216 **Referências**

- 1217 Albuquerque, MGPT; Sabaa-Srur, AUO; Freiman, LO. 1991. Composição centesimal e  
1218 escore de aminoácidos em três espécies de Ora-pro-nobis (*Pereskia aculeata* Mill. P. bleu  
1219 de Candolle e *P. pereskia* (L) Karsten). Boletim da Sociedade Brasileira de Ciência e  
1220 Tecnologia de Alimentos, v. 25, n. 1, p. 7-12.
- 1221 Almeida Filho, J; Cambraia, J. 1974. Estudo do valor nutritivo do “ora-pro-nobis”  
1222 (*Pereskia aculeata* Mill.). Revista Ceres, Viçosa, v. 21, n. 114, p. 105-11.
- 1223 Andújar, MM; Navarro, MP; Varela, G. 1977. The effect of Ca/P relation on utilization  
1224 of both nutrients in laying quails (author's transl). Revista Espanola de Fisiologia, 33(4),  
1225 pp.305-309. Dec;33(4):305-309. PMID: 594488.
- 1226 Borges, JTDS; Ascheri, JLR; Ascheri, DR; do Nascimento, RE; Freitas, AS. 2003.  
1227 Propriedades de cozimento e caracterização físico-química de macarrão pré-cozido à base  
1228 de farinha integral de quinoa (*Chenopodium quinoa*, Willd) e de farinha de arroz (*Oryza*  
1229 *sativa*, L) polido por extrusão termoplástica. Boletim do Centro de Pesquisa de  
1230 Processamento de Alimentos, v. 21, n.2. Curitiba-PR.
- 1231 Braz, NDM; Freitas, ER; Bezerra, RM; Cruz, CEB; Farias, NNP; Silva, NMD; Xavier,  
1232 RPDS. 2011. Fibra na ração de crescimento e seus efeitos no desempenho de poedeiras  
1233 nas fases de crescimento e postura. Revista Brasileira de Zootecnia, 40, 2744-2753,  
1234 <https://doi.org/10.1590/S1516-35982011001200019>
- 1235 Cavalcante, AF; Garcez, BS; Moreira Filho, MA; Alves, AA. 2014. Composição química  
1236 de alimentos utilizados em rações para ruminantes no Meio Norte do Brasil. PUBVET,  
1237 Londrina, V. 8, N. 8, Ed. 257.
- 1238 Cruz, A; Savicki, A; Frentzel, A; Adam, IP; Prado, LO; Franqueto, L; Balbi, ME. 2020.  
1239 PLANTAS ALIMENTÍCIAS NÃO CONVENCIONAIS: UTILIZAÇÃO DAS FOLHAS  
1240 DE “ORA-PRO-NOBIS”(*PERESKIA ACULEATA* MILL, CACTACEAE) NO  
1241 CONSUMO HUMANO. Visão Acadêmica, 21(3).

- 1242 Da Silva, MA; Damiani, AP. 2022. Uso de planta alimentícia não convencional (PANC)  
1243 na gastronomia e suas propriedades nutricionais: Ora-pro-nóbis (*Pereskia aculeata* Mill.).  
1244 Revista Inova Saúde, v. 12, n. 2, p. 135-147, <https://doi.org/10.18616/inova.v12i2.5079>
- 1245 De Andrade, R; Oliveira, FDM; Morais, SAL; Pavani, LC. 2011. Avaliação físico-  
1246 química de folhas de ora-pro-nóbis obtidas de plantas catalogadas no município de  
1247 Uberlândia, MG. In: Seminário de Iniciação Científica I, Instituto Federal do Triângulo  
1248 Mineiro, Uberlândia.
- 1249 Ferronato, C; Bittencourt, TM; Lima, HJD; Valentim, JK; Martins, ACDS; Silva, NEM.  
1250 2020. Farelo de algodão na dieta de codornas japonesas. Boletim de Indústria Animal, v.  
1251 77, p. 1-8, <https://doi.org/10.17523/bia.2020.v77.e1468>
- 1252 Garcez, KF; Schneider, CR; Bragança, LF; Fernandes, T; Neres, MA; Krolow, RH;  
1253 Castagnara, DD. 2023. Adição de farelos de milho, soja e arroz melhoram a conservação  
1254 e valor nutricional de silagens de Tifton 85: Addition of corn, soybean and rice brens  
1255 improve the conservation and nutritional value of Tifton 85 silages. Brazilian Journal of  
1256 Animal and Environmental Research, 6(2), 1773-1790,  
1257 <https://doi.org/10.34188/bjaerv6n2-066>
- 1258 Gazzola, S; Cerbaro, AEM; Manfio, ES; Serpa, FC; Zanchin, LF; Borille, R. 2018.  
1259 Caracterização da Ora-Pro-Nóbis como um possível alimento alternativo na nutrição de  
1260 codornas japonesas. Anais do Salão Internacional de Ensino, Pesquisa e Extensão 10, no.  
1261 2. Universidade Federal do Pampa. Santana do Livramento-RS.
- 1262 Girão, LVC; Silva Filho, JC; Pinto, JEBP; Bertolucci, SKV. 2003. Avaliação da  
1263 composição bromatológica de ora-pro-nóbis. Horticultura Brasileira, v. 21, n. 2, p. 1-4.  
1264 Brasília-DF.
- 1265 Gonçalves, JPZ; Seraglio, J; Silva, LL; Fernandes, SC; Costelli, MC; Savio, J. 2014.  
1266 Quantificação de proteínas e análise de cinzas encontradas nas folhas e caule da ora-pro-  
1267 nobis (*Pereskia aculeata* Miller). In CONGRESSO BRASILEIRO DE ENGRNHARIA  
1268 QUÍMICA (Vol. 20). Florianópolis-SC.

- 1269 Henneberg, W; Sthomann, F. 1859. Ueber den Heuwert der Futterstoffe. J. f.  
1270 Landwirtschaft, v. 7, p. 299.
- 1271 Inman, DL. 1973. Cellulose digestion in ruffed grouse, chukar partridge, and bobwhite  
1272 quail. The Journal of Wildlife Management, pp.114-121,  
1273 <https://doi.org/10.2307/3799750>
- 1274 Jordão Filho, J; Silva, JHVD; Costa, FGP; Sakomura, NK; Silva, CT; Chagas, NA.  
1275 2011b. Prediction equations to estimate the demand of energy and crude protein for  
1276 maintenance, gain and egg production for laying Japanese quails. Revista Brasileira de  
1277 Zootecnia, 40, 2423-2430, <https://doi.org/10.1590/S1516-35982011001100020>
- 1278 Jordão Filho, J; Silva, JHVD; Silva, CT; Costa, FGP; Sousa, JMBD; Givisiez, PEN.  
1279 2011a. Energy requirement for maintenance and gain for two genotypes of quails housed  
1280 in different breeding rearing systems. Revista Brasileira de Zootecnia, 40, 2415-2422,  
1281 <https://doi.org/10.1590/S1516-35982011001100019>
- 1282 Kjeldahl, J. 1883. Medd Carlsberg Lab, 2, 1 (1883); Z. anal. Chem, 22, 366.
- 1283 Leira, MH; Botelho, HA; Barreto, BB; Botelho, JHV; Pessoa, GO. 2018. Fatores que  
1284 alteram a produção e a qualidade do leite: Revisão. Pubvet, v. 12, p. 172,  
1285 <https://doi.org/10.22256/pubvet.v12n5a85.1-13>
- 1286 Lise, CC; Daltoé, MLM; Johann, G. 2021. Mucilagem da ora-pro-nóbis (*Pereskia*  
1287 *aculeata* Miller): aplicação em emulsionado cárneo e avaliação das propriedades  
1288 funcionais mediante diferentes condições de secagem. Dissertação (M.S.c). Universidade  
1289 Tecnológica Federal do Paraná, Pato Branco-PR.
- 1290 Martin, AA; de Freitas, RA; Sasaki, GL; Evangelista, PHL; Sierakowski, MR. 2017.  
1291 Chemical structure and physical-chemical properties of mucilage from the leaves of  
1292 *Pereskia aculeata*. Food Hydrocolloids, 70, 20-28,  
1293 <https://doi.org/10.1016/j.foodhyd.2017.03.020>
- 1294 Martinevsk, CS; de Oliveira, VR; Rios, ADO; Flores, SH; Venzke, JG. 2013.  
1295 UTILIZAÇÃO DE BERTALHA (ANREDERA CORDIFOLIA (TEN.) Steenis) E ORA-

- 1296 PRO-NOBIS (PERESKIA ACULEATA MILL.) NA ELABORAÇÃO DE PÃES.  
1297 Brazilian Journal of Food & Nutrition/Alimentos e Nutrição, v. 24, n. 3, ISSN 0103-4235
- 1298 Matthews, WA; Sumner, DA. 2015. Effects of housing system on the costs of commercial  
1299 egg production. Poultry Science, v. 94, n. 3, p. 552-557,  
1300 <https://doi.org/10.3382/ps/peu011>
- 1301 Mazia, RS. 2012. Influência do tipo de solo usado para o cultivo de Pereskia aculeata  
1302 sobre propriedade proteica. Revista Saúde e Pesquisa, v. 5, n. 1, p. 59-65. ISSN 1983-  
1303 1870.
- 1304 Mendes, WS; Silva, IJ; Fontes, DO; Rodriguez, NM; Marinho, PC; Silva, FO; Silva,  
1305 FCO. 2004. Composição química e valor nutritivo da soja crua e submetida a diferentes  
1306 processamentos térmicos para suínos em crescimento. Arquivo Brasileiro de Medicina  
1307 Veterinária e Zootecnia, 56, 207-213, <https://doi.org/10.1590/S0102-09352004000200011>
- 1309 Muniz, JCL; Barreto, SLT; Viana, GS; Mencalha, R; Reis, RS; Hannas, MI; Maia, RC.  
1310 2018. Metabolizable energy levels for meat-type quails at starter phase. Brazilian Journal  
1311 of Poultry Science, 20, 197-202, <https://doi.org/10.1590/1806-9061-2017-0496>
- 1312 Paim, AN. 2012. Utilização de gordura oxidada em dietas de frango de corte. Dissertação  
1313 (M.S.c.). Universidade Federal do Paraná. Curitiba-PR.
- 1314 Regina do Amaral Duarte, C; Eiko Murakami, A; Stuewe de Mello, K; Paola Picoli, K;  
1315 Flávia Quiles Marques Garcia, A; Fátima Zanon Ferreira, M. 2013. Casca de soja na  
1316 alimentação de codornas. Semina Ciências Agrárias, 34(6), pp.3057-3068.
- 1317 Rostagno, HS; Albino, LFT; Hannas, MI; Donzele, JL; Sakomura, NK; Perazzo, FG;  
1318 Saraiva, A; Teixeira, ML; Rodrigues, PB; Oliveira, RF; Barreto, SLT; Brito, CO. 2017.  
1319 Tabelas brasileiras para aves e suínos. Composição de alimentos e exigências  
1320 nutricionais, 4<sup>a</sup> ed. Universidade Federal de Viçosa. Viçosa-MG.
- 1321 Savory, CJ; Gentle, MJ. 1976. Effects of dietary dilution with fibre on the food intake and  
1322 gut dimensions of Japanese quail. British Poultry Science, 17(6), pp.561-570,  
1323 <https://doi.org/10.1080/00071667608416314>

- 1324 Serpa, FC. 2022. EMULSIFICANTE NA DIETA DE CODORNAS JAPONESAS COM  
1325 DIFERENTES FONTES LIPÍDICAS. 2022. Tese (Doutorado). Universidade Federal da  
1326 Grande Dourados. Dourados-MS.
- 1327 Silva, JHV; Jordão Filho, J; Costa, FGP; Lacerda, PBD; Vargas, DGV; Lima, MR. 2012.  
1328 Exigências nutricionais de codornas. Revista Brasileira de Saúde e Produção Animal, 13,  
1329 775-790.
- 1330 Sommer, MC; de Araújo Ribeiro, PF; Kaminski, TA. 2022. Obtenção e caracterização  
1331 físico-química da farinha de ora-pro-nóbis. Brazilian Journal of Health Review, 5(2),  
1332 6878-6892, <https://doi.org/10.34119/bjhrv5n2-256>
- 1333 Strong, TR; Reimer, PR; Braun, EJ. 1990. Morphometry of the galliform cecum: A  
1334 comparison between Gambel's quail and the domestic fowl. Cell and tissue research, 259,  
1335 pp.511-518, <https://doi.org/10.1007/BF01740778>
- 1336 Universidade Federal do Piauí (UFPI). 2022. Resultado de análise de solo. Teresina-PI.
- 1337 Vieira, JS. 2017. PROPAGAÇÃO VEGETATIVA, CRESCIMENTO E TEOR DA  
1338 PROTEÍNA EM ORA-PRO-NÓBIS (*Pereskia aculeata* Miller) CULTIVADO SOB  
1339 TELAS FOTOSSELETIVAS. Dissertação (M.S.c.). Instituto Federal de Educação,  
1340 Ciência e Tecnologia Goiano. Morrinhos-GO.

#### **4. CAPÍTULO II – USO DE NÍVEIS CRESCENTES DE FARINHA DAS FOLHAS DE ORA-PRO-NÓBIS NA DIETA DE CODORNAS JAPONESAS EM POSTURA**

##### **1341 RESUMO**

1342 Objetivou-se com esta pesquisa avaliar o efeito da utilização da farinha das folhas de ora-  
1343 pro-nóbis (FOPN), em rações de codornas japonesas em fase de postura, sobre  
1344 desempenho, qualidade dos ovos e viabilidade econômica das dietas. Foram utilizadas  
1345 160 codornas, alojadas em 20 gaiolas com 8 aves cada, em delineamento inteiramente  
1346 casualizado, com 4 tratamentos e 05 repetições. Foram testados 04 níveis (0, 10, 20 e  
1347 30%) de FOPN na matéria seca da dieta. Diariamente, e por 30 dias, foi coletado 01 ovo  
1348 por unidade amostral, para avaliação dos parâmetros de desempenho e qualidade dos  
1349 ovos. O uso da FOPN mostrou efeito quadrático ( $p<0,05$ ) sobre a taxa de postura,  
1350 conversão alimentar por dúzia e massa de ovo, percentagem da casca, do albúmen e da  
1351 gema, índice gema e cor da gema. A pigmentação da gema foi maior nos tratamentos que  
1352 receberam os níveis 20 e 30%, com valores médios de 10,4 e 10,7, respectivamente. Não  
1353 houve efeito dos níveis sobre o consumo de ração, umidade das excretas, peso e tamanho  
1354 do ovo, gravidade específica, espessura da casca e unidade Haugh. É recomendado a  
1355 utilização de até 20% da farinha das folhas de ora-pro-nóbis na dieta de codornas  
1356 japonesas em postura, pois afeta positivamente o desempenho das aves e reduziu os custos  
1357 com alimentação em R\$ 0,03 por ave, o que proporciona ao criador uma rentabilidade de  
1358 81,10%, superior 1,26% em relação à dieta convencional.

1359 **Palavras-chave:** Alimento alternativo; Avaliação de dietas; Coturnicultura; Qualidade  
1360 de ovos.

1361     **4.1 Introdução**

1362       A criação de codornas de postura comercial é um segmento produtivo atrativo e  
1363       em crescimento no Brasil, que tem ganhado destaque no cenário nacional, frente às  
1364       demais produções pecuárias já consolidadas (Silva et al., 2017). Contudo, por apresentar  
1365       alta produtividade, as codornas japonesas apresentam peculiaridades em sua alimentação,  
1366       pois exigem uma dieta balanceada que permita expressar todo seu potencial produtivo  
1367       (Benivente et al., 2022).

1368       As poucas informações sobre manejo alimentar e exigências nutricionais dessas  
1369       aves tem contribuído para elevado custos, isso por que em muitos casos, os produtores  
1370       subestimam ou superestimam as exigências, causando prejuízos para o setor (Garcia et  
1371       al., 2012). Na maioria das criações de codornas de postura, utiliza-se ração composta por  
1372       elevados percentuais de milho e soja, principais ingredientes da dieta, que sofrem  
1373       constantes oscilações de preços no mercado (Ferronato et al., 2020).

1374       Esse fator torna necessária a busca por alimentos alternativos que possam  
1375       substituir ingredientes comumente utilizados, reduzindo o investimento na alimentação,  
1376       ao mesmo tempo que mantém as características nutricionais das dietas sem afetar o  
1377       desempenho animal (Ribeiro et al., 2003). Assim, o uso de alimentos alternativos é uma  
1378       estratégia de redução dos custos, e possibilidade de uso de culturas vegetais já existentes  
1379       na propriedade na dieta animal (Santos et al., 2018).

1380       Dentre as espécies com potencial para a alimentação animal, destacam-se as  
1381       plantas do gênero *Pereskia* spp., como é o caso da ora-pro-nóbis, (*Pereskia aculeata*  
1382       Mill), uma Cactaceae com elevados valores nutricionais, conhecida popularmente como  
1383       “carne de pobre”, devido seu elevado teor proteico (Santos et al., 2022). Apresenta ainda,  
1384       altos teores de vitaminas, minerais e aminoácidos, além de compostos antinutricionais em  
1385       quantidades reduzidas o que a torna um possível alimento alternativo para uso na  
1386       alimentação animal (Mendonça et al., 2021; Reinert et al., 2023).

1387       Portanto, a pesquisa objetivou avaliar os efeitos da utilização de níveis crescentes  
1388       da farinha de folhas de ora-pro-nóbis desidratadas, sobre o desempenho e qualidade de  
1389       ovos de codornas japonesas em fase de postura.

1390     **4.2. Material e métodos**

1391       A pesquisa foi realizada no Instituto Federal de Educação, Ciência e Tecnologia  
1392       do Maranhão, localizado na mesorregião do Leste Maranhense, na cidade de Caxias-MA.

1393 A temperatura e a umidade relativa interna do galpão foram registradas diariamente,  
 1394 através de termo-higrômetro digital instalado, cujos valores médios mínimo e máximo da  
 1395 temperatura e umidade, durante o experimento foram: 26,41 e 27,77°C, 81,8 e 86,38%,  
 1396 respectivamente.

1397 A pesquisa foi realizada de acordo com os princípios éticos de experimentação  
 1398 animal, submetida e aprovada pela Comissão de Ética e Experimentação Animal da  
 1399 Universidade Estadual do Maranhão, sob protocolo CEEA nº43 de 21 de abril de 2023.

1400 Foram utilizadas 160 codornas japonesas adultas, em fase de postura, com idade  
 1401 produtiva de 45 dias, e peso médio de 135g, alojadas em 20 gaiolas, com 8,0 aves cada.  
 1402 O delineamento experimental foi inteiramente casualizado, com 4 tratamentos e 05  
 1403 repetições. Os tratamentos foram: 0, 10, 20 e 30% de utilização da FOPN na dieta das  
 1404 aves.

1405 A ração foi formulada à base de farelo de milho e de soja, e a FOPN, além de  
 1406 componentes minerais, vitaminas e aminoácidos, considerando os níveis nutritivos  
 1407 preconizados para codornas japonesas em produção, de acordo com a Tabela Brasileira  
 1408 para Aves e Suínos de Rostagno et al. (2017), sendo as mesmas isoproteicas (19,08%) e  
 1409 isosódicas (0,148%), (Tabela 4).

Tabela 4. Composição centesimal das rações experimentais.

Ingredients	Níveis de FOPN na dieta (%)			
	0	10	20	30
Farelo de milho	60,080	57,830	55,230	52,200
Farelo de Soja	31,220	30,120	28,850	25,370
FOPN	-	3,350	7,210	11,730
Calcário calcítico	6,900	6,899	6,879	7,799
Fosfato bicálcico	1,799	1,800	1,830	2,730
Sal comum	0,400	0,400	0,400	0,400
Premix Vit. + Min. Postura	0,150	0,150	0,150	0,150
L-Lisina HCL	0,019	0,018	0,018	0,018
DL- Metionina	0,017	0,016	0,012	0,016
L-Treonina	0,016	0,016	0,012	0,015
TOTAL	100	100	100	100
Composição calculada				

Energia metabolizável (kcal kg <sup>-1</sup> )	2.871	2.848	2.822	2.811
Proetína bruta (%)	19,08	19,08	19,08	19,08
Cálcio total (%)	2,992	2,995	3,256	3,541
Fósforo total (%)	0,322	0,324	0,320	0,491
Sódio (%)	0,148	0,148	0,148	0,148
Lisina (%)	1,999	1,927	1,922	1,873
Met. + Cist. Total (%)	1,728	1,679	1,292	1,635
Treonina (%)	1,684	1,612	1,274	1,595

1410 Para a produção da FOPN, as folhas foram colhidas de plantas adultas, oriundas  
 1411 de área cultiva sem uso de fertilizantes e/ou agrotóxicos. Inicialmente, foram lavadas em  
 1412 água corrente para eliminar detritos e sujidades, higienizadas em água clorada a 1,0ppm.  
 1413 A seguir, foram submetidas ao cozimento úmido na forma de branqueamento, conforme  
 1414 descrito por De Sousa Gouveia et al. (2015). Assim, as folhas foram colocadas em água  
 1415 fervente, seguida de banho de gelo por 1 min. Em seguida, foram colocadas em estufa de  
 1416 circulação forçada de ar à temperatura de 60°C durante 72 horas, trituradas em seguida  
 1417 em moinho elétrico tipo Willey, utilizando peneira com furo de 2mm.

1418 As aves receberam água a vontade, e ração duas vezes ao dia, às 07hh30min e às  
 1419 17h30min, sendo fornecido 12 gramas em média de ração para cada ave por vez. O  
 1420 experimento foi conduzido durante 45 dias, sendo 15 dias destinado à adaptação das  
 1421 codornas a cada nível de FOPN na ração, e 30 dias para a coleta dos ovos para a realização  
 1422 das análises.

1423 A coleta dos ovos foi realizada diariamente às 17h30, sendo coletado um total de  
 1424 150 ovos por tratamento, que em seguida foram acondicionados em bandejas de plástico  
 1425 identificadas, e transportadas ao laboratório, para avaliação da qualidade em relação ao  
 1426 peso do ovo (PO) em (g), tamanho do ovo (TO) em (mm), % da casca, do albúmen, e da  
 1427 gema, Índice gema (IG), unidade Haugh (UH), gravidade específica (GE) em (g mm<sup>-1</sup>),  
 1428 espessura da casca (EC) em (mm) e a cor da gema (CG).

1429 Foi avaliado ainda o desempenho das aves em relação taxa de postura (% TP),  
 1430 consumo de ração (CR) em (g ave dia<sup>-1</sup>), conversão alimentar por dúzia de ovos (CADZ)  
 1431 em (kg dz<sup>-1</sup>), conversão alimentar por massa de ovos (CAMO) em (g g<sup>-1</sup>) e umidade das  
 1432 excretas (UE) em (%).

O valor do PO (g), foi obtido através de pesagem em balança de precisão de 0,01g, e TO (mm) aferido com paquímetro digital. Para a determinação da % da casca, albúmen e da gema, IG, e CG, foram utilizados 50 ovos de cada tratamento, que foram quebrados e tiveram suas partes separadas e pesadas. O valor da % da casca, albúmen e da gema foi obtido pela relação dos seus respectivos pesos, dividido pelo peso do ovo, e o resultado multiplicado por 100.

O valor do IG foi obtido por meio da relação da sua altura, medida na região central, dividido pelo valor do seu diâmetro. A coloração da gema foi determinada através do leque colorimétrico DSM YolkFan, com escala de 1 a 16. A UH foi mensurada levando em consideração o valor da altura do albúmen e o peso do ovo, e o valor obtido através da equação (1):

$$UH = 100 * \log(H + 7,57 - 1,7 * W^{0,35}) [1]$$

Em que: H = altura do albúmen (mm), W = peso do ovo (g).

A determinação do valor EC foi realizada através da medição com micrômetro digital, após secagem em estufa a 65°C por 48 horas. A avaliação da GE foi feita por imersão em Backer de 50ml, com diferentes soluções salinas (NaCl), cujas densidades variaram de 1,065 a 1,125, com intervalos de 0,005, conforme metodologia de Castelló et al. (1989). O valor foi obtido através da equação (2).

$$GE = \frac{PO}{POS} * TC [2]$$

Em que: PO = peso do ovo (g), POS = peso do ovo na solução e, TC = temperatura corrigida.

A taxa de postura foi determinada pela produção total de ovos por gaiola por dia, dividida pela quantidade de aves de cada gaiola e o valor multiplicado por 100. O consumo de ração foi determinado através diferença entre a quantidade de ração fornecida, e as sobras de ração coletadas e pesadas no dia seguinte às 07h00, e o valor dividido pela quantidade de aves em cada gaiola.

A conversão alimentar por dúzia de ovo foi medida através da relação entre o consumo de ração dividido pela produção total média de ovos por dia, e o valor multiplicado por 12. A conversão alimentar por massa de ovo foi feita pela relação do consumo de ração dividido pela massa de ovo, onde esta foi calculada pela produção total de ovos postos por ave por dia, e o valor multiplicado pelo peso médio dos ovos.

1464 Para a determinação da UE, foram recolhidas aleatoriamente, 10 amostras das  
 1465 fezes frescas de cada gaiola, com intervalo de 3 dias entre cada coleta, que foram pesadas  
 1466 em seguida e levadas à estufa a 65°C por 48 horas, e pesadas novamente. O valor da  
 1467 umidade foi obtido da diferença de peso, e o resultado multiplicado por 100.

1468 A análise econômica foi realizada de acordo com metodologia descrita por Lana  
 1469 (2000) considerando as seguintes variáveis: produção de ovos, consumo de ração e custos  
 1470 das rações. Assim, a análise econômica relaciona-se aos componentes de produção e  
 1471 alimentação, haja vista que a mão-de-obra e outros gastos com a criação das codornas  
 1472 foram iguais para todos os tratamentos.

1473 O preço médio dos ovos referente ao valor de varejo e os valores de matérias-  
 1474 primas, utilizados para o cálculo dos custos das rações foram referentes aos valores  
 1475 vigentes no mercado local no período da execução do experimento (maio de 2023). O  
 1476 preço da dúzia de ovos de codorna fornecido em Caxias-MA foi de R\$ 3,00 (Tabela 5).

Tabela 5. Preços dos ingredientes (R\$ Kg-1), ovos e custos de ração experimental.

Ingredientes	Valor R\$/KG	Níveis de FOPN na dieta (%)			
		0	10	20	30
Farelo de milho	2,50	150,02	144,57	138,07	130,92
Farelo de soja	4,00	124,88	120,48	115,40	101,48
Ora-pro-nóbis	2,50	0,00	8,37	18,02	29,32
Calcário calcítico	3,16	21,80	21,80	21,73	24,64
Fosfato bicálcico	10,00	17,99	18,00	18,30	27,30
Sal comum	3,50	1,40	1,40	1,40	1,40
Premix Vit. + Min. Postura	8,00	1,20	1,20	1,20	1,20
L-Lisina HCL	14,97	0,28	0,26	0,26	0,26
DL- Metionina	27,00	0,45	0,43	0,43	0,43
L-Treonina	15,08	0,24	0,18	0,22	0,22
Dúzia de ovos	3,00	-	-	-	-
Total R\$ 100kg-1	-	318,26	316,69	315,03	317,03

1477 O preço de produção da FOPN foi estimado em R\$ 2,50 kg-1, levando-se em  
 1478 consideração apenas os custos de mão-de-obra e a colheita das folhas. Para a avaliação

1479 econômica, foi verificado o custo médio por quilograma de ração. Para isso, foram  
 1480 utilizados os valores da tabela 5.

1481 Além do custo médio com arraçoamento (R\$ ave-1), foram considerados: a  
 1482 margem bruta média (%), representada pela percentagem da diferença entre a renda bruta  
 1483 e o custo com arraçoamento, a rentabilidade média (%) que é o valor percentual obtido  
 1484 pela divisão entre a margem bruta média e o custo com arraçoamento, indicando a  
 1485 rentabilidade sobre o investimento em ração, conforme equações (3, 4 e 5), descritas por  
 1486 Lana (2000).

1487 
$$\text{CMA} = (\text{CO} * \text{CR}) [3]; \text{MBM} = \text{RBM} - \text{CMA} [4]; \text{RM} = \frac{\text{MBM}}{\text{RBM}} * 100 [5]$$

1488 Em que: CMA = custo médio com arraçoamento, CO = consumo de ração, CR = custo  
 1489 com ração, MBM = margem bruta média, RBM = preço pago por dúzia de ovos no  
 1490 mercado durante a realização do experimento, R\$ 3,00, RM = rentabilidade média.

1491 Os dados foram submetidos à análise de regressão, utilizando-se o pacote  
 1492 estatístico (ExpDes.pt) do programa R. Quando significativo ( $P < 0,05$ ), foram  
 1493 submetidos ao teste Tukey ao nível de 5% de significância.

#### 1494 4.3. Resultados

1495 A utilização da farinha de ora-pro-nóbis na dieta das codornas, causou efeito  
 1496 quadrático ( $p < 0,05$ ) na postura e sobre a conversão alimentar por dúzia (CADZ) e por  
 1497 massa de ovo (CAMO), onde o melhor desempenho das aves ocorreu com a utilização de  
 1498 20% de FOPN, cujos os valores médios em relação à dieta convencional foram de  
 1499 78,40%, 0,852 kg dz-1 e 8,462 g g-1, respectivamente (Tabela 6).

Tabela 6. Desempenho e postura de codornas japonesas alimentadas com FOPN.

Variáveis	Níveis de FOPN na dieta (%)					$\hat{Y}$	$R^2$	CV (%)
	0	10	20	30				
CR (g ave dia-1)	$0,18^{\pm 0,01}$	$0,17^{\pm 0,01}$	$0,18^{\pm 0,007}$	$0,17^{\pm 0,008}$	ns	-	6,47	
CADZ (kg dz-1)	0,86 <sup>a</sup>	0,99 <sup>a</sup>	0,85 <sup>a</sup>	1,03 <sup>b</sup>	2*	0,93	5,74	
CAMO (g g-1)	8,26 <sup>a</sup>	8,70 <sup>b</sup>	8,46 <sup>a</sup>	10,79 <sup>b</sup>	3*	0,87	9,02	
Postura (%)	82,80 <sup>a</sup>	74,50 <sup>b</sup>	78,40 <sup>a</sup>	52,20 <sup>b</sup>	1*	0,83	8,71	
UE (%)	$9,71^{\pm 0,57}$	$9,70^{\pm 0,74}$	$9,20^{\pm 1,08}$	$9,44^{\pm 0,64}$	ns	-	8,28	

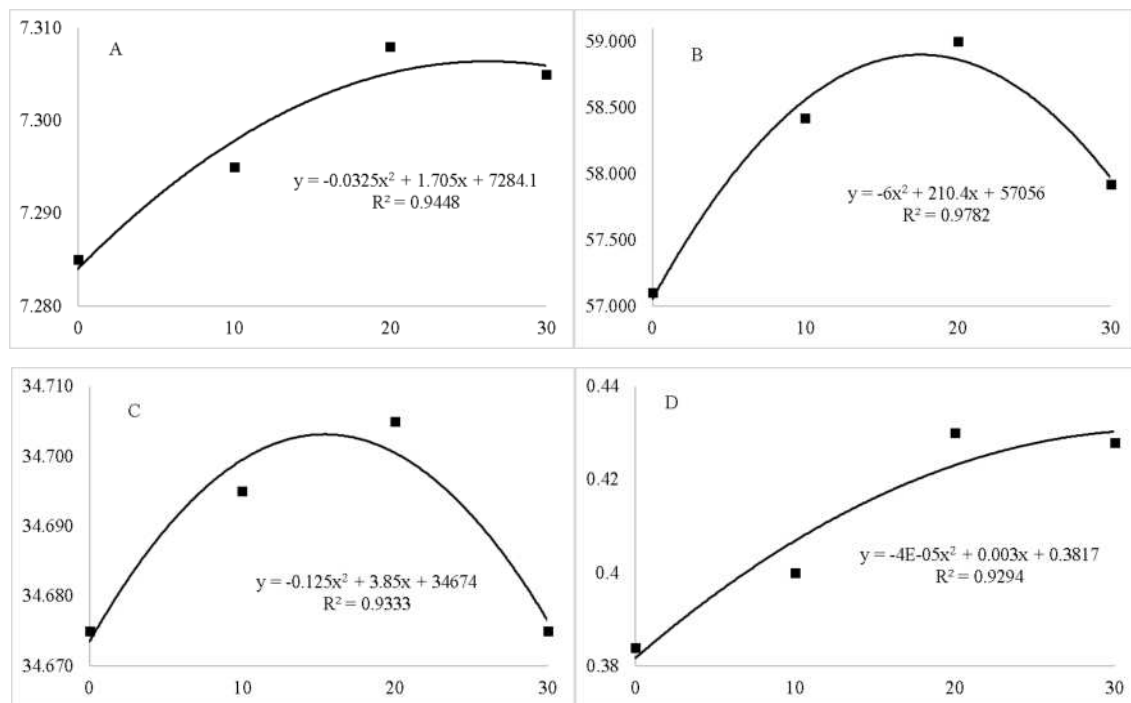
1500 Médias seguidas de letras iguais na linha não diferem estatisticamente entre si, segundo  
 1501 teste de Tukey a 5% de significância.  $\hat{Y}$  = Equação. \* Efeito quadrático ( $p < 0,05$ ). ns =

1502 não significativo. CV = Coeficiente de variação.  $^1\hat{Y} = 2.5825x^2 - 46.479x + 52.49$ .  $^2\hat{Y} =$   
 1503  $4.7075x^2 - 67.755x + 8423$ .  $^3\hat{Y} = -0.0448x^2 + 0.4635x + 80.685$

1504 Não houve efeito significativo ( $p > 0,05$ ) dos níveis de FOPN sobre o consumo  
 1505 de ração (CR) e a umidade das excretas (UE). A utilização de níveis mais elevados (30%)  
 1506 de FOPN na dieta, pois a conversão alimentar das aves, e consequentemente a postura são  
 1507 prejudicadas, mesmo tendo apresentado o menor consumo de ração. Os resultados  
 1508 observados, demonstraram efeitos positivos da utilização da FOPN nas rações de  
 1509 codornas japonesas na fase de postura, o que pode ser indicativo da utilização dessa planta  
 1510 como alimento alternativo para uso na dieta dessas aves, até o nível de 20%.

1511 Observou-se uma tendência quadrática ( $p < 0,05$ ), sobre os componentes do ovo  
 1512 (% casca, albúmen e gema) e sobre o índice gema (IG) e a cor da gema (CG), em que a  
 1513 utilização de 20% de FOPN na dieta não afetou o desempenho e incrementou uma  
 1514 melhoria na qualidade dos ovos (Figura 5).

Figura 5. Efeito da FOPN na % de casca (A), albúmen (B), gema (C) e índice de gema  
 (D) de ovos de codorna japonesa.



Fonte: Sousa et al. (2023).

1515 Não houve efeito dos níveis de FOPN ( $p \geq 0,05$ ) sobre os demais componentes de  
 1516 qualidade do ovo. Porém, é importante destacar que o uso de 20% de FOPN na dieta,

1517 resultou em valores superiores para a unidade Haugh (UH) e gravidade específica (Tabela  
1518 7).

1519 A utilização da FOPN na dieta das codornas influenciou positivamente a  
1520 coloração da gema dos ovos, exercendo efeito significativo ( $p < 0,05$ ) dos níveis 20 e  
1521 30%, que elevaram o valor da pigmentação em três vezes mais, em relação à dieta  
1522 convencional, cujos valores médios apresentaram pouca diferença entre si (10,4 e 10,7),  
1523 respectivamente (Tabela 7).

Tabela 7. Efeitos da FOPN na qualidade dos ovos de codornas japonesas.

Variáveis	Níveis de FOPN na dieta (%)					$\hat{Y}$	$R^2$	CV (%)
	0	10	20	30				
PO (g)	$9,98 \pm 0,02$	$9,32 \pm 0,02$	$9,98 \pm 0,02$	$9,96 \pm 0,02$	ns	-	5,68	
TO (mm)	$31,16 \pm 0,02$	$30,68 \pm 0,02$	$31,37 \pm 0,02$	$31,25 \pm 0,02$	ns	-	1,93	
% Casca	8,14 <sup>a</sup>	8,29 <sup>a</sup>	7,69 <sup>b</sup>	7,23 <sup>b</sup>	1*	0,94	4,97	
% Albúmen	50,53 <sup>a</sup>	47,00 <sup>b</sup>	45,37 <sup>b</sup>	48,85 <sup>c</sup>	2*	0,97	5,87	
% Gema	41,33 <sup>a</sup>	44,84 <sup>a</sup>	46,93 <sup>b</sup>	43,910 <sup>a</sup>	3*	0,93	6,36	
IG	0,38 <sup>a</sup>	0,40 <sup>a</sup>	0,43 <sup>b</sup>	0,42 <sup>b</sup>	4*	0,92	4,49	
UH	$77,85 \pm 0,02$	$76,92 \pm 0,02$	$76,91 \pm 0,02$	$77,72 \pm 0,02$	ns	-	1,90	
GE (g cm <sup>-3</sup> -1)	$1,85 \pm 0,02$	$1,82 \pm 0,02$	$1,94 \pm 0,02$	$1,99 \pm 0,02$	ns	-	9,92	
EC (mm)	$0,21 \pm 0,02$	$0,21 \pm 0,02$	$0,21 \pm 0,02$	$0,19 \pm 0,02$	ns	-	10,96	
CG	3,00 <sup>a</sup>	8,30 <sup>b</sup>	10,40 <sup>c</sup>	10,70 <sup>c</sup>	5*	0,99	6,76	

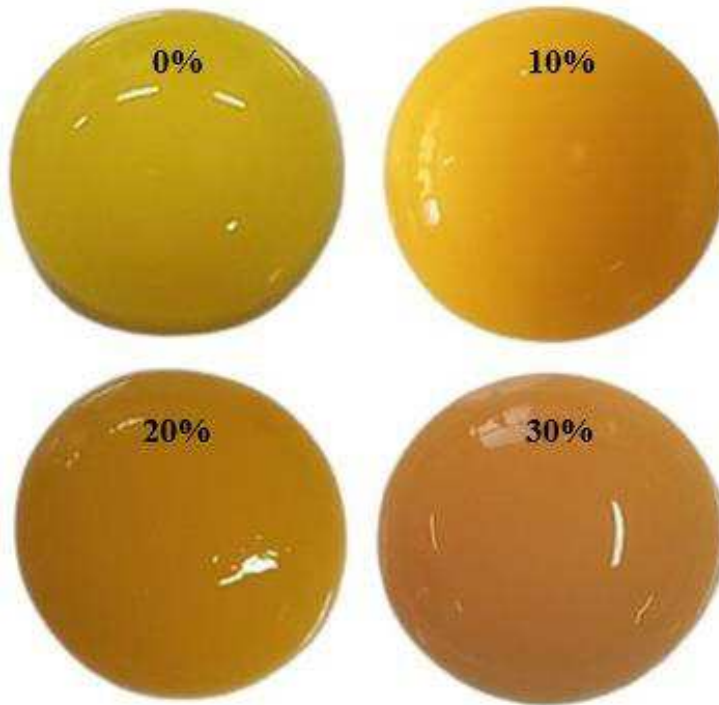
1524 Médias seguidas de letras iguais na linha não diferem estatisticamente entre si, segundo  
1525 teste de Tukey a 5% de significância.  $\hat{Y}$  = Equação. \* Efeito quadrático ( $p < 0,05$ ). ns =  
1526 não significativo. CV = Coeficiente de variação. <sup>1</sup> $\hat{Y} = -0.0325x^2 + 1.705x + 7284$ . <sup>2</sup> $\hat{Y}$   
1527 =  $-6x^2 + 210.4x + 57056$ . <sup>3</sup> $\hat{Y} = -16.345x^2 + 588.61x + 41146$ . <sup>4</sup> $\hat{Y} = -4E-05x^2 + 0.003x +$   
1528 0.3817. <sup>5</sup> $\hat{Y} = -0.0125x^2 + 0.627x + 3.07$ .

1529 O valor encontrado para a unidade Haugh (76,914) demonstrou que a utilização de  
1530 20% da farinha de folhas de ora-pro-nóbis, proporcionou a produção de ovos com padrão  
1531 de qualidade elevado, onde o albúmen denso, que é o principal componente dos ovos para  
1532 avaliação da unidade Haugh, apresentou valores superiores a 72, que é o mínimo  
1533 recomendado pelo Egg - Grading Manual (2000).

1534 Em dietas convencionais, os níveis de pigmentos presentes não são suficientes  
1535 para obtenção de gemas com coloração desejável, o que justifica o uso de aditivos

1536 pigmentantes naturais, artificiais ou inorgânicos. A FOPN, em níveis mais elevados (20 e  
 1537 30%), resulta em ovos com maior expressão da pigmentação da gema (Figura 7).

Figura 6. Efeitos da FOPN na pigmentação da gema de ovo de codornas japonesas.



Fonte: Sousa et al. (2023).

1538 Os valores do custo com arraçoamento foram menores no tratamento com 20% de  
 1539 FOPN, indicando que houve economia de R\$ 0,03 por ave com alimentação em relação  
 1540 ao tratamento controle. A maior rentabilidade ocorreu no tratamento com 20% de FOPN  
 1541 (81,10%), sendo 1,26% superior ao tratamento controle (Tabela 8).

Tabela 8. Análise das variáveis econômicas da produção de ovos de codornas japonesas  
 alimentadas com FOPN.

Variáveis	Níveis de FOPN na dieta (%)				
	0	10	20	30	CV (%)
CMA (R\$ ave-1)	$0,60^{\pm 0,02}$	$0,59^{\pm 0,01}$	$0,57^{\pm 0,03}$	$0,58^{\pm 0,01}$	4,15
MBM (R\$ dz-1)	$2,40^{\pm 0,01}$	$2,41^{\pm 0,03}$	$2,43^{\pm 0,01}$	$2,42^{\pm 0,02}$	0,99
RM (%)	$79,84^{\pm 0,62}$	$80,31^{\pm 1,27}$	$81,10^{\pm 0,47}$	$80,73^{\pm 0,74}$	1,04

1542 CMA = Custo médio de arraçoamento. MBM = Margem bruta média. RM =  
 1543 Rentabilidade média. CV = Coeficiente de variação.

1544     **4.4. Discussão**

1545       O bom desempenho das poedeiras está associado a uma boa nutrição, em  
1546       quantidades adequadas de nutrientes, e isso inclui os minerais, que são considerados de  
1547       grande importância para as aves, pois participam de processos bioquímicos corporais e  
1548       formação do ovo (Da Silva Sechinato et al., 2006). Outro fator essencial nessa atividade,  
1549       diz respeito aos minerais, pois estão diretamente relacionados com o desempenho das  
1550       aves, pois exerce total influência sobre taxa de postura, peso dos ovos, conversão  
1551       alimentar e ganho de peso (Carvalho, 2012).

1552       A conversão alimentar é resultado da relação entre consumo de ração e a produção  
1553       em dúzia e por massa de ovo. Discordando do presente trabalho Pinto et al. (2002) não  
1554       encontraram diferenças entre os níveis de proteína testados para conversão por massa de  
1555       ovo. Ribeiro et al. (2003) e Freitas et al. (2005) verificaram melhores resultados quando  
1556       a ração para codornas tinha 23% e 22% de PB, respectivamente.

1557       Para Maciel et al. (2019), atenção especial deve ser dada ao nível de proteína na  
1558       ração das codornas, em que níveis de proteína em ração contendo sorgo, em substituição  
1559       ao milho, não pode ser inferior a 20,25%, pois pode afetar o consumo de ração, a massa  
1560       dos ovos, e consequentemente a conversão por massa de ovo.

1561       Alinhado a isso, a ora-pro-nóbis pode ajudar na redução dos custos de produção,  
1562       uma vez que, sua composição nutricional, segundo Almeida Filho e Cambraia (1974),  
1563       em que o teor de proteína encontrado nas folhas foi 25%, possibilita que seja classificada  
1564       como ingrediente que pode substituir alimentos convencionais, particularmente os  
1565       proteicos, que são os que mais oneram a ração.

1566       Os resultados para a participação de cada constituinte do ovo (casca, albúmen e  
1567       gema), demonstrou haver variação em razão do aumento do nível de FOPN na dieta,  
1568       contudo os valores encontrados são semelhantes ao encontrado por Albino e Neme  
1569       (1998), que observam os valores de 12,66% para o componente casca, 31,58% para a  
1570       gema e 55,74% para o albúmen.

1571       As aves poedeiras comerciais, como no caso das codornas devem ser alimentadas  
1572       com dieta balanceada em proteína, pois a maior taxa de síntese proteica ocorre no fígado  
1573       e no oviduto, principais órgãos envolvidos na síntese de PB que constituem a gema e o  
1574       albúmen do ovo, respectivamente (Muramatsu et al., 1987).

1575 A casca é uma barreira física do ovo, e representa 9 a 10% do peso total do ovo.  
1576 É constituída por 90% de minerais, dos quais 98% é cálcio, fósforo, magnésio, sódio,  
1577 potássio, zinco, manganês, ferro e cobre (Farmer et al., 1983; Silva e Santos, 2000).  
1578 Takeite et al. (2009) encontraram 1,56 e 3,42 mg.100g<sup>-1</sup> de cálcio e fósforo disponível em  
1579 folhas de ora-pro-nóbis. Esses valores nutricionais justificam os valores encontrados  
1580 nesse estudo para a casca, cujos valores encontrados, até o nível máximo fornecido  
1581 (7,23%), são próximo do relatado pelos autores.

1582 Segundo Júnior et al. (2013), as proteínas presentes em ora-pro-nóbis, têm 85%  
1583 de digestibilidade, e são formadas por aminoácidos essenciais, especialmente a lisina e  
1584 metionina + cistina, que atuam na síntese proteica, e exercem total influência sobre o  
1585 ótimo desempenho e qualidade dos ovos das aves (Bertechini, 2010). Outros aminoácidos  
1586 que participam da formação do albúmen também estão presentes, com destaque para a  
1587 leucina, seguido fenilalanina, lisina, valina, treonina, isoleucina, histidina e metionina,  
1588 (Botrel et al., 2019).

1589 De acordo com Mercê et al. (2001), a lisina constitui 5,4% do conteúdo de proteína  
1590 total das folhas de OPN. Esses autores ressaltaram que esse achado é muito importante,  
1591 uma vez que a lisina é um aminoácido essencial na nutrição humana e animal. A  
1592 abundância desse aminoácido, assim como outros já citados, podem ter influenciado na  
1593 manutenção do teor de albúmen do ovo, haja visto que a proteína é abundante nesse  
1594 componente (De Faria Domingues et al., 2016).

1595 Para Garcia et al. (2019), a composição nutricional da ora-pro-nóbis contribuiu  
1596 para a formação de ovos com padrão comercial, e os valores encontrados nesse estudo  
1597 não foram alterados negativamente pelo uso de até 20% de FOPN na dieta dessas aves.  
1598 Embora os ovos de codornas sejam, na maioria, comercializados por unidade e não por  
1599 peso, o uso de dietas com níveis de proteína e energia equilibrados são necessários para  
1600 produção de ovos dentro padrão comercial (Baumgartner, 1994; Freitas et al., 2005).

1601 A utilização da FOPN na dieta das codornas, resultou na produção de ovos com  
1602 padrão comercial aceitável, quanto ao peso e tamanho, com valores médios de 9,755g e  
1603 31,10mm, respectivamente, permanecendo bem próximo da faixa de peso considerada  
1604 normal para Murakami e Ariki (1998) que seria de 10 a 11g, e de tamanho, 25 a 34mm.  
1605 Portanto, pode-se assegurar que a utilização da FOPN não compromete o tamanho e peso  
1606 dos ovos.

1607 Segundo Agostini-Costa et al. (2012), a ora-pro-nóbis pode ser usada como  
1608 pigmentante natural na dieta de codornas, quando se pretende obter ovos com gemas mais  
1609 pigmentadas, pois a coloração mais alaranjada encontrada nos ovos, indica existir uma  
1610 quantidade considerada de carotenoides, e isso fundamenta a pigmentação mais acentuada  
1611 da gema obtida nesse estudo.

1612 Destaca-se que para ovos de codornas, a coloração da gema não é uma  
1613 característica muito exigida pelos consumidores, em razão dos ovos de codornas serem  
1614 consumidos em sua maioria cozidos (Da Silva et al., 2020). Mesmo assim, vale ressaltar  
1615 que a FOPN pode fornecer elementos que elevam o valor nutricional da gema do ovo de  
1616 codornas japonesas, como os carotenoides luteína,  $\alpha$ -caroteno,  $\beta$ -caroteno e a zeaxantina  
1617 (Agostini-Costa et al., 2012).

#### 1618 **4.5. Conclusões**

1619 É recomendado a utilização de até 20% da farinha das folhas de ora-pro-nóbis na  
1620 dieta de codornas japonesas em postura, pois afetou positivamente o desempenho das  
1621 aves e reduziu os custos com alimentação em R\$ 0,03 por ave, o que proporciona ao  
1622 criador uma rentabilidade de 81,10%, superior 1,26% em relação à dieta convencional.

1623 A ora-pro-nóbis é um alimento alternativo, que pode substituir parcialmente os  
1624 ingredientes convencionais utilizados nas rações de codornas japonesas, pois proporciona  
1625 ao criador uma redução dos custos produtivos sem afetar os índices de desempenho e  
1626 qualidade dos ovos dessas aves.

1627 **Referências**

- 1628 Agostini-Costa, TDS; Wondraceck, DC; Rocha, WDS; Silva, DBD. 2012. Carotenoids  
1629 profile and total polyphenols in fruits of *Pereskia aculeata* Miller. Revista Brasileira de  
1630 Fruticultura, 34, 234-238, <https://doi.org/10.1590/S0100-29452012000100031>
- 1631 Albino, LFT; Neme, R. 1998. Codornas: Manual Prático de Criação de Codornas. 1º ed.  
1632 Viçosa: Aprenda Fácil. p.56. Universidade Federal de Viçosa, Viçosa, MG, Brasil.
- 1633 Almeida Filho, J; Cambraia, J. 1974. Estudo do valor nutritivo do “ora-pro-nobis”  
1634 (*Pereskia aculeata* Mill.). Revista Ceres, Viçosa, v. 21, n. 114, p. 105-11.
- 1635 Baumgartner, J. 1994. Japanese quail production, breeding and genetics. World's Poultry  
1636 Science Journal, v. 50, n. 3, p. 227-235.
- 1637 Benivente, AC; Moraes, JAT; da Silva, LP; Junior, EF. 2022. CRIAÇÃO E MANEJO  
1638 DA CODORNA COTURNIX JAPÔNICA. Revista Interface Tecnológica, v. 19, n. 2, p.  
1639 691-701, <https://doi.org/10.31510/infa.v19i2.1483>
- 1640 Bertechini, AG. 2010. Situação atual e perspectivas para a coturnicultura no Brasil. In:  
1641 IV Simpósio Internacional e III Congresso Brasileiro de Coturnicultura. p. 09-14.
- 1642 Botrel, N; Godoy, RDO; Madeira, NR; Amaro, GB; Melo, RDC. 2019. Estudo  
1643 comparativo da composição proteica e do perfil de aminoácidos em cinco clones de ora-  
1644 pro-nóbis. Boletim de Pesquisa e Desenvolvimento 196. Embrapa Hortalícias, Brasília-  
1645 DF.
- 1646 Carvalho, L.S.S. 2012. Nutrição de poedeiras em clima quente. Revista Científica  
1647 Eletrônica de Medicina Veterinária, 18, 1-15.
- 1648 Castelló, JA; Pontes, M; González, FF. 1989. Producción de huevos. Real Escuela de  
1649 Avicultura. Barcelona, España.
- 1650 Da Silva Sechinato, A; De Albuquerque, R; Nakada, S. 2006. Efeito da suplementação  
1651 dietética com micro minerais orgânicos na produção de galinhas poedeiras. Brazilian  
1652 Journal of Veterinary Research and Animal Science, v. 43, n. 2, p. 159-166,  
1653 <https://doi.org/10.11606/issn.1678-4456.bjvras.2006.26495>

- 1654 Da Silva, LAL; Andrade, JMDM; Miranda, VMDMC; Leite, SM; Batista, PR; Rodrigues,  
1655 WR. 2020. Avaliação do consumo de ovos de codorna na comunidade acadêmica da  
1656 Universidade Estadual de Maringá. *Brazilian Journal of Animal and Environmental*  
1657 *Research*, v. 3, n. 3, p. 1616-1620, <https://doi.org/10.34188/bjaerv3n3-078>
- 1658 De Faria Domingues, CH; Sgavioli, S; Praes, MFFM; Santos, ET; Castiblanco, DMC;  
1659 Petrolli, TG; Junqueira, OM. 2016. Lisina e metionina+ cistina digestíveis sobre o  
1660 desempenho e qualidade de ovos de poedeiras comerciais: Revisão. *Pubvet*, v. 10, p. 448-  
1661 512.
- 1662 De Sousa Gouveia, AM; Corrêa, CV; Evangelista, RM; Cardoso, AII. 2015. Modificação  
1663 da cor e das características físico-químicas de brócolis branqueados e congelados. *Revista*  
1664 *Iberoamericana de Tecnología Postcosecha*, v. 16, n. 2, p. 299-306.
- 1665 Farmer, M; Roland Sr, DA; Eckman, MK. 1983. Calcium metabolism in broiler breeder  
1666 hens: 2. The influence of the time of feeding on calcium status of the digestive system  
1667 and eggshell quality in broiler breeders. *Poultry Science*, 62(3), 465-471,  
1668 <https://doi.org/10.3382/ps.0620465>
- 1669 Ferronato, C; Bittencourt, TM; Lima, HJD; Valentim, JK; Martins, ACDS; Silva, NEM.  
1670 2020. Farelo de algodão na dieta de codornas japonesas. *Boletim de Indústria Animal*, v.  
1671 77, p. 1-8, <https://doi.org/10.17523/bia.2020.v77.e1468>
- 1672 Freitas, ACD; Fuentes, MDFF; Freitas, ER; Sucupira, FS; Oliveira, BCMD. 2005. Efeito  
1673 de níveis de proteína bruta e de energia metabolizável na dieta sobre o desempenho de  
1674 codornas de postura. *Revista Brasileira de Zootecnia*, 34, 838-846.  
1675 <https://doi.org/10.1590/S1516-35982005000300015>
- 1676 Freitas, ACD; Fuentes, MDFF; Freitas, ER; Sucupira, FS; Oliveira, BCMD. 2005. Efeito  
1677 de níveis de proteína bruta e de energia metabolizável na dieta sobre o desempenho de  
1678 codornas de postura. *Revista Brasileira de Zootecnia*, 34, 838-846,  
1679 <https://doi.org/10.1590/S1516-35982005000300015>

- 1680 Garcia, AFQM; Murakami, AE; Massuda, EM; Urgnani, FJ; Poten a, A; Duarte, CRDA;
- 1681 Eyng, C. 2012. Milheto na alimenta o de codornas japonesas. Revista Brasileira de
- 1682 Sa de e Produ o Animal, v. 13, p. 150-159.
- 1683 Garcia, JAA; Corr a, RC; Barros, L; Pereira, C; Abreu, R M; Alves, MJ; Ferreira, IC.
- 1684 2019. Phytochemical profile and biological activities of Ora-pro-nobis' leaves (*Pereskia*
- 1685 *aculeata* Miller), an underexploited superfood from the Brazilian Atlantic Forest. Food
- 1686 chemistry, v. 294, p. 302-308, <https://doi.org/10.1016/j.foodchem.2019.05.074>
- 1687 Junior, FAL; Concei o, MC; de Resende, JV; Junqueira, LA; Pereira, CG; Prado, MET.
- 1688 2013. Response surface methodology for optimization of the mucilage extraction process
- 1689 from *Pereskia aculeata* Miller. Food Hydrocolloids, v. 33, n. 1, p. 38-47, 2013,
- 1690 <https://doi.org/10.1016/j.foodhyd.2013.02.012>
- 1691 Lana, GRQ. 2000. Avicultura. Recife, PE, Brasil.
- 1692 Maciel, MP; Moura, VHS; Aiura, FS; Arouca, CLC; Souza, LFM; Silva, DB; Said, JLS.
- 1693 2019. N veis de prote na em ra es com milho ou sorgo para codornas japonesas.
- 1694 Archivos de zootecnia, 68(261), 110-118, <https://doi.org/10.21071/az.v68i261.3946>
- 1695 Mendon a, HDOP; Taroco, HA; Ribeiro, LV, Reina, LDCB; Silva, MR; Melo, MLOF;
- 1696 Oliveira, ARMFD. 2021. POTENCIALIDADE MEDICINAL E ALIMENT CIA DA
- 1697 ORA-PRO-NOBIS (PERESKIA ACUELATA). T PICOS ESPECIAIS EM ESTUDOS
- 1698 AGROECOL GICOS NA REGI O SUL DA BAHIA, 1(1), 157-173. DOI:
- 1699 10.37885/210705327
- 1700 Merc , ALR; Landaluze, JS; Mangrich, AS; Szpoganicz, B; Sierakowski, MR. 2001.
- 1701 Complexes of arabinogalactan of *Pereskia aculeata* and Co<sup>2+</sup>, Cu<sup>2+</sup>, Mn<sup>2+</sup>, and Ni<sup>2+</sup>.
- 1702 Bioresource Technology, 76(1), 29-37, [https://doi.org/10.1016/S0960-8524\(00\)00078-X](https://doi.org/10.1016/S0960-8524(00)00078-X)
- 1703 Murakami AE, Ariki J. 1998. Produ o de codornas japonesas. 1998. FUNEP.
- 1704 Jaboticabal, SP, Brasil.
- 1705 Muramatsu, T; Hiramoto, K; Tasaki, I; Okumura, J. 1987. Effect of protein starvation on
- 1706 protein turnover in liver, oviduct and whole body of laying hens. Comparative

- 1707 biochemistry and physiology. B, Comparative biochemistry, v. 87, n. 2, p. 227-232,  
1708 10.1016/0305-0491(87)90134-9
- 1709 Reinert, G; da Rosa Almeida, A; de Armas, RD; Maciel, MVDOB. 2023.  
1710 Physicochemical analysis, antioxidant activity and research of saponins in fresh and  
1711 blanched caruru (*Amaranthus deflexus* Linn) and ora-pro-nóbis (*Pereskia aculeata* Miller)  
1712 leaves. Food Science Today, v. 1, n. 1, <https://doi.org/10.58951/fstoday.v1i1.12>
- 1713 Ribeiro, MLG; Silva, JHVD; Dantas, MDO; Costa, FGP; Oliveira, SFD; Jordão Filho, J;  
1714 Silva, ELD. 2003. Exigências nutricionais de lisina para codornas durante a fase de  
1715 postura, em função do nível de proteína da ração. Revista Brasileira de Zootecnia, 32,  
1716 156-161, <https://doi.org/10.1590/S1516-35982003000100020>
- 1717 Ribeiro, MLG; Silva, JHVD; Dantas, MDO; Costa, FGP; Oliveira, SFD; Jordão Filho, J;  
1718 Silva, ELD. 2003. Exigências nutricionais de lisina para codornas durante a fase de  
1719 postura, em função do nível de proteína da ração. Revista Brasileira de Zootecnia, 32,  
1720 156-161, <https://doi.org/10.1590/S1516-35982003000100020>
- 1721 Rostagno, HS; Albino, LFT; Hannas, MI; Donzele, JL; Sakomura, NK; Perazzo, FG;  
1722 Saraiva, A; Teixeira, ML; Rodrigues, PB; Oliveira, RF; Barreto, SLT; Brito, CO. 2017.  
1723 Tabelas brasileiras para aves e suínos. Composição de alimentos e exigências  
1724 nutricionais, 4<sup>a</sup> ed. Universidade Federal de Viçosa. Viçosa, MG, Brasil.
- 1725 Santos, PPAD; Ferrari, GDS; Rosa, MDS; Almeida, K; Araújo, LDAD; Pereira, MHC;  
1726 Morato, PN. 2022. Desenvolvimento e caracterização de sorvete funcional de alto teor  
1727 proteico com ora-pro-nóbis (*Pereskia aculeata* Miller) e inulina. Brazilian Journal of Food  
1728 Technology, v. 25, <https://doi.org/10.1590/1981-6723.12920>
- 1729 Santos, SJA; Estrela, JWM; Alves, ALD; Dantas, ACP; Galdino, JS. 2018. Criação de  
1730 galinha capoeira com alimentos alternativos por agricultores familiares no município de  
1731 Picuí - Paraíba. In: X CONGRESSO BRASILEIRO DE AGROECOLOGIA, 10., 2017,  
1732 Brasília. Anais X Congresso Brasileiro de Agroecologia. Brasília, DF, Brasil.

- 1733 Silva, JHVD; Santos, VJD. 2000. Efeito do carbonato de cálcio na qualidade da casca dos  
1734 ovos durante a muda forçada. Revista Brasileira de Zootecnia, 29, 1440-1445,  
1735 <https://doi.org/10.1590/S1516-3598200000500023>
- 1736 Silva, RC; Nascimento, JWBD; Rodrigues, LR; Leite, PG; Galvão Sobrinho, T; Furtado,  
1737 DA. 2017. Qualidade de ovos de codornas confinadas em ambiente termoneutro e de  
1738 estresse térmico. J. Anim. Behav. Biometeorol., 139-143,  
1739 <http://dx.doi.org/10.14269/2318-1265/jabb.v5n4p139-143>
- 1740 Takeiti, CY; Antônio, GC; Motta, EM; Collares-Queiroz, FP; Park, KJ. 2009. Nutritive  
1741 evaluation of a non-conventional leafy vegetable (*Pereskia aculeata* Miller). International  
1742 Journal of Food Sciences and Nutrition, v. 60, n. sup1, p. 148-160,  
1743 <https://doi.org/10.1080/09637480802534509>